

بررسی شیمی کانی‌ها، جایگاه زمین‌ساختی و پتروژئن‌توده‌های نفوذی کمپلکس سورسات (شمال غرب تکاب)-ایران

ثريا دادفر^{۱*}، فرهاد آليانى^۲، علی اکبر بهاري فر^۳ و محمدحسين زرين‌کوب^۴

۱. دانشجوی دکتری گروه زمین‌شناسی، دانشکده علوم، دانشگاه بوعلی سینا همدان، همدان، ایران

۲. دانشیار گروه زمین‌شناسی، دانشکده علوم، دانشگاه بوعلی سینا همدان، همدان، ایران

۳. استادیار گروه زمین‌شناسی، دانشگاه پيام نور، تهران، ایران

۴. استاد گروه زمین‌شناسی، دانشکده علوم، دانشگاه بيرجند، بيرجند، ایران

تاریخ دریافت: ۹۶/۰۹/۱۱

تاریخ پذیرش: ۹۶/۱۲/۰۹

چکیده

توده‌های نفوذی کمپلکس سورسات بخشی از توده‌های نفوذی زون سنندج-سیرجان را تشکیل می‌دهند. براساس مشاهدات صحرایی و مطالعات میکروسکوپی، منطقه مورد مطالعه از هورنبلند گابریو، کوارتزدیوریت، مونزودیوریت، گرانودیوریت و توانالیت تشکیل شده است. تجزیه مایکروپریوب کانی‌های آمفیبول (در گرانودیوریت و مونزودیوریت)، پلازیوکلاز و آلکالی فلدسپار (در مونزودیوریت، گرانودیوریت و توانالیت) نشان می‌دهد که آمفیبول‌ها از نوع مگنزیوهومنبلند، پلازیوکلازها از نوع آلبیت تا اولیکوکلاز و آلکالی‌فلدسپارها از نوع ارتوكلاز هستند. با توجه به مطالعات ژئوشیمیایی، واحد مونزودیوریت (توده‌های خانقلی و ترکه‌دره) از نوع I، با ماهیت کالک‌آلکالن و متال‌الومین، در محدوده کمان ماقمایی (VAG) و دارای میزان نسبت $^{87}\text{Sr}/^{86}\text{Sr}$ اولیه و Nd/Eu به ترتیب برابر با 0.70448 ± 0.012 است و از ماقمایی گوشه‌ای، که تحت فرایندهای آلاش پوسته‌ای قرار گرفته، ایجاد شده است. واحد گرانودیوریت (توده‌های پیچاچی، حمزه قاسم و شمال شرق خانقلی)، از نوع I با ماهیت متال‌الومین تا پرآلومین و کالک‌آلکالن است که در محدوده کمان ماقمایی VAG همراه با انکلاو ریز دانه مافیک، میزان نسبت $^{87}\text{Sr}/^{86}\text{Sr}$ اولیه و Nd/Eu به ترتیب برابر با 0.70529 ± 0.0282 است، از اختلاط ماقمایی مشتق شده از گوشه با مذاب حاصل از ذوب پوسته، ایجاد شده است. توانالیت-ترنجمیت‌ها از نوع I با ماهیت کالک‌آلکالن و پرآلومین بوده که با توجه به مقادیر پایین عدد منزیم $\# \text{Mg} = 2.9 \pm 0.6 / 2.4 \pm 0.1$ ، مقادیر پایین نسبت $\text{Cr} / (\text{Cr} + 2\text{Ni})$ و $\text{Nb} / (\text{Nb} + \text{La/Yb})$ و Sr/Y آمفیبولیتی هستند که خود از ذوب پوسته مافیک ضخیم شده یا بازالت‌های زیر صفحه‌ای در اعمق و فشار پایین با حضور پلازیوکلاز در ناحیه منشا تشکیل شده است.

واژه‌های کلیدی: گرانیت‌توبید تیپ I، شیمی کانی، آلاش پوسته‌ای، اختلاط ماقمایی، شمال غرب تکاب.

مقدمه

سیرجان براساس داده‌های استراتیگرافی و ایزوتوبی، به پرکامبرین، پالئوزوئیک یا مژوزوئیک نسبت داده شده‌اند (Nutman et al., 2013; Hassanzadeh and Wernicke, 2016). در شمال غربی ایران و در منطقه

به طور کلی زون سنندج-سیرجان از کمپلکس‌های دگرگونی و توده‌های گرانیت‌توبیدی تشکیل یافته است. کمپلکس‌های دگرگونی در نقاط مختلف زون سنندج

* نویسنده مرتبط: soraya.dadfar64@gmail.com

روش مطالعه

جهت بررسی ویژگی‌های سنگ‌نگاری و ژئوشیمیابی توده‌های نفوذی منطقه، ضمن انجام بازدیدهای صحرایی از واحدهای مختلف سنگ‌های آذرین نفوذی منطقه مورد مطالعه نمونه‌برداری صورت گرفت که ۵۲ عدد از این نمونه‌ها جهت مطالعات سنگ‌نگاری انتخاب شدند. به منظور بررسی شیمی کانی‌های سنگ‌های مورد بررسی ۱۶ نقطه بلورآمفیویل، ۶۵ نقطه از پلاژیوکلاز و ۵ نقطه آکالی‌فلدیسپار به وسیله دستگاه ریزپردازنده‌ی الکترونی مدل (5-WDS) JEOL JXA8230 در آزمایشگاه علوم زمین دانشگاه تورنتو کشور کانادا تجزیه شدند. آزمایش‌های انجام شده در شرایط تابش پرتو با ولتاژ شتاب‌دهنده $kV = 20$ تا $kV = 30$ و شدت جریان Ampre ۰/۷ تا ۰/۲ میکرومتر انجام گرفت. نتایج بررسی‌ها در جداول ۱، ۲ و ۳ ارائه شده‌اند. تعداد ۱۸ نمونه جهت تجزیه شیمیابی به آزمایشگاه شرکت MS Analytical Services Ltd به آزمایشگاه ارسال شد (جدول ۴). جهت تعیین عناصر کشور کانادا ارسال شد (جدول ۴). جهت تعیین عناصر اصلی از روش ذوب لیتیم بورات ICP-OES و جهت تعیین عناصر فرعی و نادر خاکی از روش لیتیم بورات ICP-MS استفاده شده است. همچنین تعداد دو نمونه از لیتولوژی اصلی توده‌های پیچاقچی، ترکه‌دره و قره‌زاغ، جهت آنالیز ایزوتوب‌های Sr و Nd به آزمایشگاه علوم زمین دانشگاه Capetown کشور آفریقای جنوبی ارسال شد (جدول ۵). روش آماده‌سازی نمونه‌ها و جداسازی شیمیابی پودرها به روش استاندارد HNO_3 -HF₃ براساس مطالعات Míková (2007) and Denková (2007) است. نمونه‌ها توسط جمع‌آوری کننده چندگانه ICP-MS بر روی MC Instruments NuPlasma HR Nu شده‌اند. مقادیر ایزوتوب Sr با استفاده از استاندارد NIST SRM987 و مقادیر ایزوتوب Nd با استفاده از استاندارد JNd-1 اندازه‌گیری شده‌اند. به منظور بررسی داده‌های به دست آمده در تفکیک عنصری و تعیین خاستگاه و محیط تکتونیکی از نرم‌افزارهای GCDkit و Excel استفاده شده است.

تکاب-شاهین‌در، کمپلکس‌های دگرگونی مشاهده می‌شوند که به پرکامبرین نسبت داده شده‌اند، کمپلکس سورسات یکی از این کمپلکس‌های دگرگونی است که در محدوده استان آذربایجان غربی، مابین شهرهای تکاب و شاهین‌در (شمال جاده تکاب به شاهین‌در) واقع شده است (شکل ۱-الف) که دارای ارتباط تکتونیکی با سنگ‌های رسوبی است. دو واحد اصلی زمین‌شناسی برای سنگ‌های رسوبی پرکامبرین تا پالئوزوئیک این منطقه تعریف شده است (خلقی خرسقی، ۱۹۹۴): ۱. سازند کهر مربوط به پرکامبرین بالایی که متشکل از اسلیت، ماسه‌سنگ و تا حدودی سنگ‌های ولکانیک اسیدی بوده که تا رخساره آمفیبولیت-شیست سبز دگرگون شده‌اند؛ ۲. دولومیت پرکامبرین-کامبرین و اردوبیسین (سازندهای بایندر و سلطانیه)، ماسه‌سنگ، شیل و سنگ‌آهک دولومیتی (سازندهای باروت، لالون و میلا) (شکل ۱-ب).

از جمله مطالعات انجام شده بر روی توده‌های نفوذی واقع در کمپلکس سورسات می‌توان به خلقی و وثوقی عابدینی (۱۳۸۲) اشاره نمود که سن مطلق توده پیچاقی را به روش K-Ar، $74/20$ میلیون سال تعیین کردند و این سن بیانگر زمان کرتاسه بالا-پالئوسن و رخداد تکتونیکی لارامید است. (Jamshidi Badr et al., 2013) پلوتونیک را در کمپلکس سورسات معروفی نموده‌اند: دسته اول-سینوگرانیت‌هایی که به روش U-Pb دارای سن تقریبی ۵۴۰ میلیون سال (540 ± 6 و 537 ± 8) بوده و گرانیت‌های برخورد قاره-قاره معرفی شده‌اند. دسته دوم و سوم به عنوان گرانیت‌های منسوب به فرورانش معرفی شده‌اند که دارای سن $59 \pm 7/2$ میلیون سال بوده که طی رول بک صفحه فروزانده نفوذتیس قبل از برخورد صفحه عربی با اورازیا و تشکیل کوهزایی زاگرس، در زون سنندج-سیرجان تشکیل شده‌اند. در این مطالعه سعی شده با اتکا به نتایج حاصل از داده‌های ایزوتوبی، آنالیز سنگ کل و تجزیه شیمیابی کانی‌ها به بررسی سنگ‌نگاری، ترکیب کانی‌شناسی، ارتباط ژنتیکی بین بخش‌های مختلف، منشاء مagma‌های سازنده و جایگاه تکتونیکی توده‌های نفوذی واقع در بخش‌های جنوب شرقی، جنوبی و غربی کمپلکس سورسات، پرداخته شود.

صحرایی و بررسی داده‌های ماهواره‌ای، از دو بخش گرانیت مزوکرات (گرانودیوریت براساس مطالعات پتروگرافی) واقع در بخش شرقی توده، (شکل ۲-ج) و لوکوگرانیت (تونالیت براساس مطالعات پتروگرافی) هم تیپ دوران (بخش غربی Jamshidi Badr) توده شده است (شکل ۲-د). Jamshidi et al., 2013، جایگیری این توده را به عملکرد گسل امتدادلغز N40E نسبت داده‌اند. رخنمون‌های گرانیت مزوکرات (گرانودیوریت براساس مطالعات پتروگرافی) در توده پیچاچی به رنگ خاکستری روشن، غالباً هوازده با فرسایش پوست پیازی هستند که اغلب توسط رگه‌هایی از کوارتز و فلدسپار با ضخامت متوسط پنج سانتی‌متر قطع شده‌اند و اکثرًا در بخش‌های شمالی به صورت جهت‌یافته دیده می‌شوند. همچنین انکلاوهای مافیک ریزدانه با اشکال دایره‌ای به قطر ده سانتی‌متر نیز در این توده قابل مشاهده است (شکل ۲-ه).

مرز رخنمون لوکوگرانیت هم تیپ دوران و گرانیت مزوکرات (گرانودیوریت براساس مطالعات پتروگرافی) یک مرز گسله می‌باشد که در این مرز لوکوگرانیت (تونالیت براساس مطالعات پتروگرافی) توسط دایک‌های دیوریتی با ضخامت متوسط یک متر مورد نفوذ قرار گرفته است (شکل ۲-و). علاوه بر این، رخنمون‌های کوچکی از گرانیت مزوکرات (گرانودیوریت براساس مطالعات پتروگرافی) در شمال شرق توده خانقلی، نزدیک روستای حمزه قاسم و توده ترکه‌دره نیز مشاهده می‌شود.

سنگنگاری

براساس مطالعات سنگنگاری، سنگ‌های نفوذی موجود در منطقه مورد مطالعه به سه دسته واحدهای مافیک (هورنبلند گابرو)، حدواسط (کوارتزدیوریت و مونزودیوریت) و فلسیک (شامل گرانودیوریت و تونالیت) قابل تقسیم‌بندی هستند.

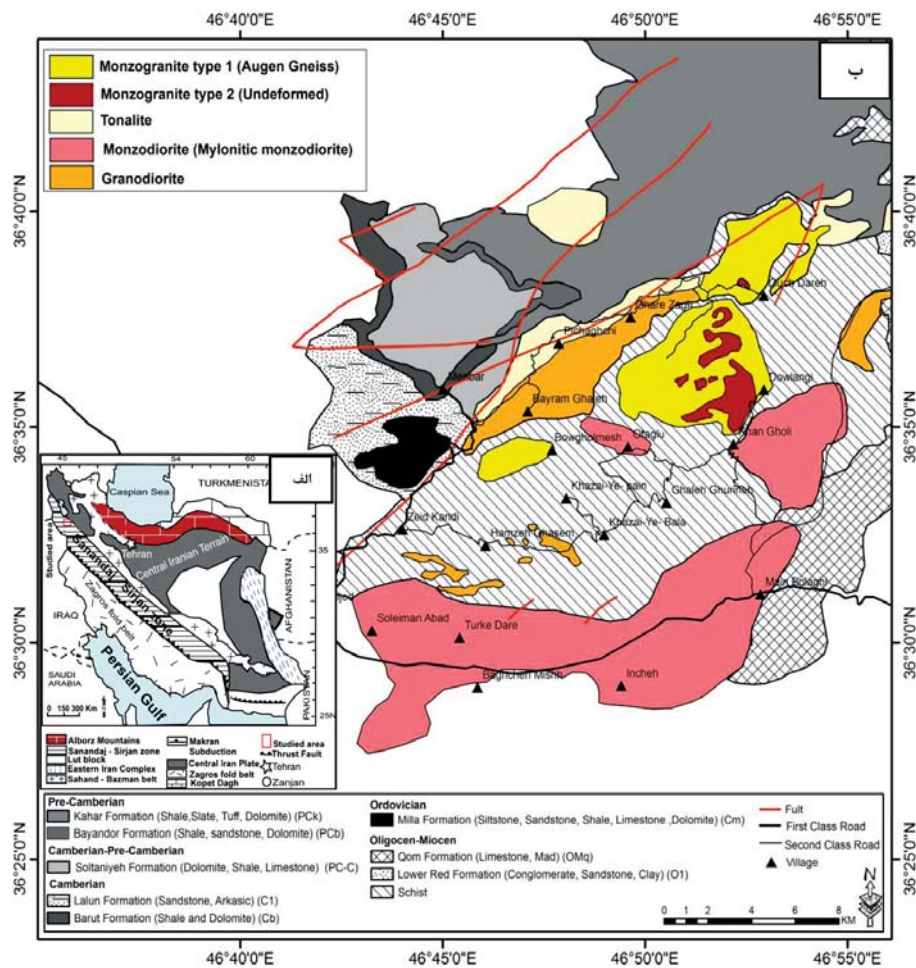
واحد مافیک: شامل دایک‌هایی با ترکیب هورنبلند گابرو در توده ترکه‌دره است.

- هورنبلند گابرو: این واحد به رنگ سبز تیره (ملاتونکرات)، ریز دانه با بافت ساب‌هدرال تا ان‌هدرال گرانولار مشاهده می‌شود. کانی‌های اصلی شامل پلاژیوکلاز (۴۰٪-۴۵٪)،

زمین‌شناسی

توده‌های گرانیت‌تئیدی شمال غرب تکاب در طول جغرافیایی ۴۱° ۴۶' ۵۵" تا ۴۶° ۳۶" شرقی و عرض جغرافیایی ۳۶° ۳۵' ۰" شمالی واقع شده‌اند (شکل ۱-ب). برونزد سنگ‌های گرانیت‌تئیدی در بخش‌های مختلف محدوده مورد مطالعه دارای تفاوت‌های کانی‌شناسی و بافتی مشخصی است که توسط سنگ‌های دگرگونی متنوع شامل میکاشیست، گارت شیست، آندالوزیت شیست، کوردیریت شیست، کیانیت شیست، فیبرولیت شیست، اکتینولیت شیست و گارت آمفیبولیت احاطه شده‌اند (Jamshidi et al., 2013). توده‌های مورد مطالعه در این پژوهش شامل توده‌های گرانیت‌تئیدی واقع در بخش‌های جنوبی (توده‌های ترکه‌دره و حمزه قاسم)، جنوب شرقی (توده‌های خانقلی و شمال شرق خانقلی)، غرب و جنوب غرب (توده پیچاچی) کمپلکس سورسات هستند (شکل ۱-ب).

توده‌های گرانیت‌تئیدی ترکه‌دره و خانقلی رخنمون‌هایی از گرانیت مزوکرات (مونزودیوریت براساس مطالعات پتروگرافی) خاکستری رنگ جهت یافته هستند که توسط رگه‌هایی از کوارتز و فلدسپار صورتی با ضخامت متغیر ۵ تا ۱۰ سانتی‌متر و اشکال مختلف قطع شده‌اند (شکل ۲-الف و ب). توده ترکه‌دره توسط دایک‌های مافیک به رنگ خاکستری تیره با ضخامت ۱/۵ متر و راستای شمال غرب-جنوب شرق مورد نفوذ قرار گرفته است. مجرد و همکاران (۱۳۸۶)، جایگیری دایک‌های گابرویی را به گسل‌های نرمال درون توده ترکه‌دره با سن بعد از پائوسن نسبت داده‌اند. علاوه در برخی رخنمون‌های این توده آثار جهت یافته‌گی و تفكیک بخش‌های تیره و روشن قابل مشاهده است که با گسترش تفكیک بخش‌های تیره و روشن، رخنمون‌هایی در ظاهر با ساختارهای میگماتیتی نیز مشاهده می‌شود (شکل ۲-الف). در توده‌های خانقلی و ترکه‌دره انکلاوهای مافیک ریزدانه با اشکال دایره‌ای و بیضی قابل مشاهده هستند. در نقشه زمین‌شناسی ۱/۱۰۰۰۰ شاهین‌دز (خلقی خسرقی، ۱۹۹۴) توده پیچاچی به صورت یک باتولیت یک دست با ترکیب گرانیت مزوکرات (گرانودیوریت براساس مطالعات پتروگرافی) گزارش شده است. اما این توده با توجه به مشاهدات



شکل ۱. الف) نقشه تقسیم‌بندی ساختاری ایران که محدوده مورد مطالعه بر روی آن مشخص شده است (Shahabpour, 1994)، ب) نقشه زمین‌شناسی کمپلکس سورسات (با تغییرات براساس نقشه ۱/۰۰۰۰۰ شاهین‌دز (خلقی خسروی، ۱۹۹۴))



شکل ۲. الف) رخمنون گرانیت مزوکرات (مونزودیوریت براساس مطالعات پتروگرافی) لایه‌بندی شده در توده ترکه‌ده، ب) تصویری از رخمنون گرانیت مزوکرات (مونزودیوریت براساس مطالعات پتروگرافی) خانقلی، ج) تصویری از رخمنون گرانیت مزوکرات (گرانودیوریت براساس مطالعات پتروگرافی) پیچاقچی، د) رخمنون لوکوگرانیت هم تیپ دوران در بخش‌های غربی توده پیچاقچی (دید به سمت غرب)، ه) انکلاوهای ریز دانه مافیک در میزان گرانیتی، و) نمایی از دایک‌های مافیک در بخش لوکوگرانیت توده پیچاقچی (دید به سمت غرب)

اسfen، کانی اوپاک، زیرکن و کانی‌های ثانویه شامل کلریت و سرسیت هستند. کوارتز همراه با خاموشی موجی و ساختارهای تبلور مجدد، غالباً به صورت ادخال در بلورهای آمفیبیول مشاهده می‌شوند. بلورهای پلازیوکلاز دارای ماکل ثانویه، غالباً سریسیتی و دارای آثار شکستگی هستند که گاهًا توسط کوارتز پرشده است. آمفیبیول را می‌توان اغلب به صورت ماهی‌گون مشاهده نمود. ارتوكلازها نیز به صورت ساختار پورفیروکلاستهای کرنشی هستند. بیوتیت نیز اکثرًا در راستای برگوارگی و گاهی به صورت بلورهای ماهی‌گون قابل مشاهده است. به ندرت می‌توان هسته‌هایی از بلورهای پیرکسن مشاهده نمود که از حاشیه به هورنبلند تبدیل شده‌اند. انکلاوهای ریزدانه با ترکیب مشابه با ترکیب کانی‌شناسی سنگ میزان با بافت‌های اینترگرانولار، پوئیکلیتیک و زونینگ در پلازیوکلاز نیز در واحد مونزودیوریت مشاهده می‌شوند.

واحد فلسفیک: به لحاظ ترکیبی در دو دسته گرانودیوریت (بخش شرقی توده پیچاقچی و رخنمون‌هایی کوچک در نزدیک روستای حمزه‌قاسم، شمال شرق خانقلی و توده ترکه‌دره) و تونالیت (بخش غربی توده پیچاقچی) قابل تقسیم‌بندی است.

گرانودیوریت: این واحد به رنگ خاکستری روشن (مزوکرات) و ریز تا متوسط دانه است. به ترتیب می‌توان به بافت‌های ساب‌هدral تا ان‌هدral گرانولار، پوئیکلیتیک، میرمکیت، زونینگ در پلازیوکلاز و آنتی راپاکیوی اشاره کرد. کانی‌های اصلی شامل کوارتز (۴۰-۴۵٪)، پلازیوکلاز (۳۰-۴۰٪)، کالالی‌فلدسپار (۱۰-۲۰٪) و بیوتیت (۱۰-۱۵٪) هستند. کانی‌های فرعی شامل آمفیبیول، زیرکن و همچنین کانی‌های ثانویه شامل کلریت و سرسیت هستند (شکل ۳-۵، و، ۵). بلورهای کوارتز همراه با خاموشی موجی و ساختارهای تبلور مجدد، بلورهای پلازیوکلاز اکثرًا به صورت سرسیتی و همراه با بافت زونینگ (زونینگ نوسانی شکل^۶) در برخی بلورها همراه با آثار ماکل ثانویه و بلورهای بیوتیت به صورت بلورهای نیمه شکل دار هستند که اغلب از حاشیه به کلریت تبدیل شده‌اند. در این واحد انکلاوهای ریزدانه با ترکیب

هورنبلند (۳۵-۴۰٪) و کلینوپیروکسن (۱۵-۲۰٪) و کانی‌های فرعی اسفن، الکالالی‌فلدسپار و بیوتیت می‌باشند (شکل ۳-الف). بلورهای پلازیوکلاز غالباً سرسیتی و دارای آثار شکستگی هستند، آمفیبیول به صورت بلورهای نیمه شکل دار دیده می‌شود و کلینوپیرکسن غالباً از حاشیه به آمفیبیول تبدیل شده است.

واحد حدواسط: شامل ترکیب کوارتزدیوریت (به صورت دایک در توده پیچاقچی) و مونزودیوریت (تودهای خانقلی، ترکه‌دره) می‌باشد.

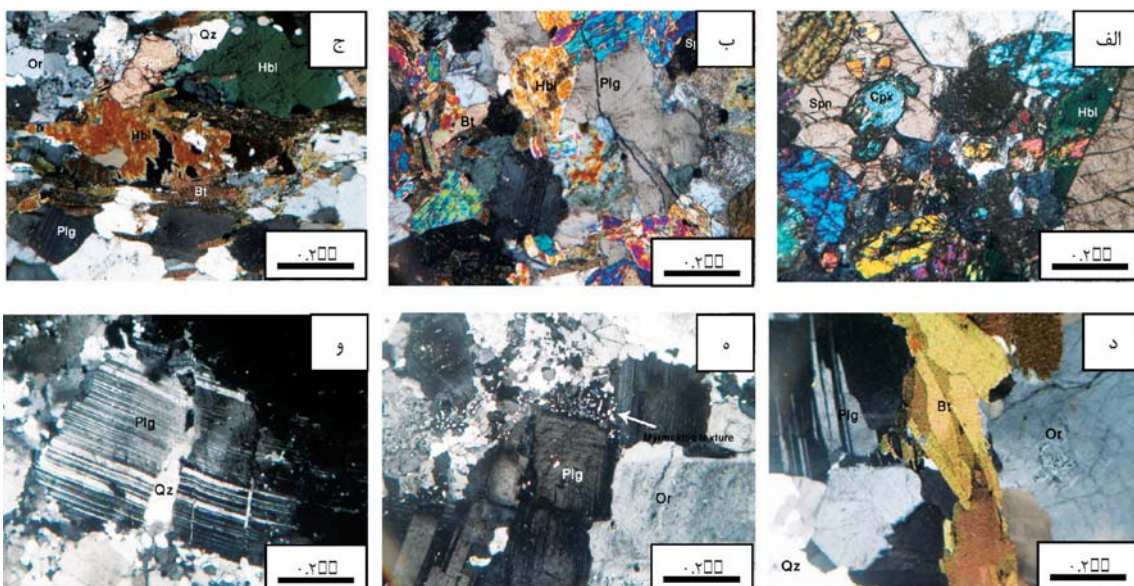
- کوارتزدیوریت: به رنگ خاکستری تیره (مزوکرات)، ریزدانه با بافت ساب‌هدral تا ان‌هدral گرانولار می‌باشند. کانی‌های اصلی شامل پلازیوکلاز حدود (۴۵-۵۵٪)، هورنبلند (۳۵-۴۰٪) و بیوتیت (۱۰-۱۵٪) بوده و کانی‌های فرعی شامل الکالالی‌فلدسپار، کوارتز و اسفن می‌باشد (شکل ۳-ب). بلورهای پلازیوکلاز دارای ماکل ثانویه، غالباً سرسیتی و دارای آثار شکستگی هستند، آمفیبیول غالباً به صورت بلورهای شکل دار تا نیمه شکل دار و بیوتیت به صورت بلورهای پراکنده و شکل دار تا نیمه شکل دار قابل مشاهده است.

- مونزودیوریت: این واحد با رنگ خاکستری تیره (مزوکرات)، ریزدانه همراه با جهت‌یافته‌گی کانی‌های تیره در نمونه دستی قابل مشاهده است. بعلاوه ریز‌ساختارها و پدیده‌های حاصل از دگرشکلی در این واحد در مقیاس میکروسکوپی نیز به خوبی قابل مشاهده است. بافت اصلی این دسته نیمه شکل دار تا بی‌شكل گرانولار و در نمونه‌های دگرشکل شده پورفیروکلاستیک و بافت‌های فرعی شامل پوئیکلیتیک و میرمکیت هستند که به نظر می‌رسد میرمکیت‌های ذکر شده حاصل از تاثیر تنفس باشند. با توجه به مطالعه پتروگرافی و اینکه کمتر از ۵۰ درصد حجم سنگ متحمل کاهش اندازه دانه شده است، می‌توان نمونه‌های دگرشکل شده این واحد را در دسته پروتومیلدونیت دسته‌بندی نمود. کانی‌های اصلی شامل پلازیوکلاز (۴۰-۵۰٪)، آمفیبیول (۲۵-۳۵٪)، الکالالی‌فلدسپار (۱۵-۲۰٪) و بیوتیت (۱۰-۱۵٪) است (شکل ۳-ج). کانی‌های فرعی شامل پیرکسن،

بلورهای کوارتز همراه با خاموشی موجی و ساختارهای تبلور مجدد هستند. پلاژیوکلازها عمدتاً همراه با ماکل شترنجی و شکستگی هستند که با کوارتز پرشده است. در جریان دگرسانی سدیک با افزوده شدن Na^+ به ساختمان کانی‌هایی مانند پلاژیوکلاز و پتاسیم فلدسپار، نوعی پلاژیوکلاز سدیک با بافت میکروسکوبی خاص شکل می‌گیرد (More and Liou, 1979). هریک از بخش‌های شترنج حالتی شبیه مربع نامنظم دارد. آثار و شواهد دگرشکلی چون شکستگی و ماکل ثانویه در پلاژیوکلاز نشان‌دهنده دگرشکلی در حالت شکنا در این واحد است.

کوارتزدیوریت با کانی‌شناسی هورنبلند و پلاژیوکلاز، بیوتیت و کانی‌های فرعی آلکالی‌فلدسبار و اسفن و بافت اینترگرانولار نیز مشاهده می‌شود.

تونالیت: رخنمون واحد لوکوگرانیت هم تیپ دوران را می‌توان در بخش غربی توده پیچاقچی مشاهده نمود که در نمونه دستی به رنگ سفید و متوسط دانه است. این سنگ‌ها عمدتاً بافت ساب هدرال تا ان‌هدرال گرانولار همراه با بافت فرعی چون پوئیکلیتیک هستند. کانی‌های اصلی شامل پلاژیوکلاز (۷۰-۶۰٪) و کوارتز (۳۵-۳۰٪) و کانی‌های فرعی شامل زیرکن و اسفن هستند (شکل ۳-و). بعلاوه به عنوان کانی ثانویه می‌توان به سریسیت اشاره کرد.



شکل ۳. (الف) نمایی از هورنبلند گایرو (بررسی در نور XPL)، (ب) نمایی از کوارتزدیوریت (بررسی در نور XPL)، (ج) نمایی از واحد مونزو دیوریت (بررسی در نور XPL)، (د) نمایی از واحد گرانولار دیوریت (بررسی در نور XPL)، (ه) نمایی از واحد کوارتزدیوریت (بررسی در نور XPL)، (و) نمایی کلی از واحد تونالیت (بررسی در نور XPL). (علام اختصاری کانی‌ها: کلینوپیرکسن = Cpx، کوارتز = Qtz، پلاژیوکلاز = Plg، بیوتیت = Bt، ارتوکلاز = Or، هورنبلند = Spn، اسفن = Hbl) (Whitney and Evans, 2010)

جدول ۱. نتایج حاصل از تجزیه آمفیبول در واحدهای مونزو دیوریتی و گرانولار دیوریتی جنوب سورسات

Comment	Type	$\text{SiO}_2(\%)$	$\text{TiO}_2(\%)$	$\text{Al}_2\text{O}_3(\%)$	$\text{FeO}(\%)$	$\text{MnO}(\%)$	$\text{MgO}(\%)$	$\text{CaO}(\%)$	$\text{Na}_2\text{O}(\%)$	$\text{K}_2\text{O}(\%)$	(OH)(%)	Total
IR-T_C2_c2_1	Grano	45/19	0/58	1/12	17/69	0/50	10/66	10/77	1/05	2/02	1/41	100..
IR-T_C2_c2_2	Grano	47/09	0/47	1/79	16/57	0/50	11/67	10/74	1/02	1/62	1/54	100..
IR-T_C2_c2_3	Grano	45/80	0/63	11/28	17/61	0/41	10/26	10/44	1/32	2/30	0/00	100/6
IR-T_D3_c1_1	Monzo	47/41	0/89	8/47	14/82	0/32	13/05	10/72	1/18	1/73	1/40	100..
IR-T_D3_c1_2	Monzo	50/02	0/64	6/39	13/33	0/28	14/72	10/88	0/96	1/14	1/64	100..
IR-T_D3_c1_3	Monzo	47/73	0/83	8/09	14/35	0/23	13/34	10/82	1/12	1/57	1/92	100..
IR-T_D3_c2_1	Monzo	45/94	0/75	9/57	16/07	0/30	12/35	10/44	1/48	2/19	0/92	100..
IR-T_D3_c2_2	Monzo	45/57	0/80	9/66	16/75	0/32	11/68	10/38	1/52	2/13	1/19	100..
IR-T_D3_c2_3	Monzo	46/40	0/63	9/16	16/33	0/32	12/03	10/62	1/31	1/74	1/47	100..

ادامه جدول ۱

Comment	Type	SiO ₂ (%)	TiO ₂ (%)	Al ₂ O ₃ (%)	FeO(%)	MnO(%)	MgO(%)	CaO(%)	Na ₂ O(%)	K ₂ O(%)	(OH)(%)	Total
IR-T_C10_c1_1	Monzo	53/47	0.23	3/22	12/87	0/44	15/35	10/91	0/89	0/77	1/85	100/00
IR-T_C10_c1_2	Monzo	47/36	0.13	7/14	16/31	0/33	12/16	10/50	1/37	1/86	1/45	100/00
IR-T_C10_c1_3	Monzo	47/41	0.93	7/47	16/34	0/37	12/17	10/42	1/40	1/84	1/66	100/00
IR-T_C10_c2_1	Monzo	46/53	1.07	7/74	16/73	0/34	11/86	10/36	1/56	1/96	1/85	100/00
IR-T_C10_c2_2	Monzo	48/32	0.50	7/54	15/69	0/39	13/10	10/47	1/27	1/67	1/06	100/00
IR-T_C10_c2_3	Monzo	48/40	0.83	7/53	15/94	0/30	12/69	10/40	1/37	1/74	1/00	100/00
IR-T_C10_c5_1	Monzo	3/27	0/42	1/14	1/80	0/00	0/16	1/76	0/32	1/17	0/616	100/00
IR-T_C10_c5_2	Monzo	4/70	0.20	9/80	9/24	0/00	0/38	1/29	0/26	0/83	7/23/31	100/00
IR-T_C10_c5_3	Monzo	52/40	0.20	4/31	13/57	0/34	14/90	10/81	0/85	0/95	1/69	100/00
IR-T_A13_c1_1	Monzo	49/47	0.37	6/13	15/9	0/32	13/60	10/63	1/15	1/16	1/40	100/00
IR-T_A13_c1_2	Monzo	54/40	0.23	3/16	12/25	0/31	16/33	10/92	0/56	0/44	1/40	100/00
IR-T_A13_c1_3	Monzo	49/73	0/45	6/72	14/54	0/30	13/52	10/70	1/05	1/17	1/82	100/00
IR-T_A13_c2_1	Monzo	48/36	0/49	7/16	14/72	0/33	12/97	10/56	1/18	1/35	2/90	100/00
IR-T_A13_c2_2	Monzo	47/53	0/53	7/82	14/27	0/28	11/87	9/81	1/40	2/63	3/87	100/00
IR-T_A13_c2_3	Monzo	48/78	0/47	7/29	14/81	0/35	13/27	10/69	1/14	1/31	1/90	100/00
IR-T_A13_c4_1	Monzo	50/92	0.20	1/18	7/62	0/28	12/84	21/24	0/70	0/09	5/12	100/00
IR-T_A13_c4_2	Monzo	54/74	0/21	2/88	11/88	0/29	16/13	10/92	0/55	0/50	1/90	100/00
IR-T_A13_c4_3	Monzo	50/74	0/31	5/71	13/90	0/31	14/21	10/72	0/89	0/91	2/30	100/00

جدول ۲. محاسبه کاتیون‌ها براساس اکسیژن. ($\text{Mg}^{+2} = (\text{Mg})/(\text{Mg}+\text{Fe})$)

Comment	Type	Si	Al IV	Al VI	Al t	Fe ⁺³	Ti	Fet	Fe ⁺²	Mn	Mg	Ca	Na	K	B Ca	B Na	#Mg
IR-T_C2_c2_1	Grano	6/62	1/32	0/32	1/74	0/81	0/6	2/16	1/35	0/6	2/33	1/69	0/29	0/37	1/89	0/29	0/63
IR-T_C2_c2_2	Grano	6/84	1/15	0/57	1/72	0/78	0/5	2/01	1/23	0/6	2/52	1/67	0/28	0/30	1/67	0/28	0/67
IR-T_C2_c2_3	Grano	6/75	1/24	0/63	1/88	0/52	0/6	2/08	1/55	0/5	2/16	1/58	0/36	0/41	1/58	0/36	0/58
IR-T_D3_c1_1	Monzo	6/83	1/16	0/27	1/44	0/74	0/9	1/78	1/04	0/3	2/80	1/65	0/33	0/31	1/65	0/33	0/73
IR-T_D3_c1_2	Monzo	7/12	0/88	0/19	1/07	0/76	0/6	1/58	0/82	0/3	3/12	1/65	0/26	0/20	1/65	0/26	0/79
IR-T_D3_c1_3	Monzo	6/89	1/10	0/27	1/32	0/69	0/9	1/73	1/03	0/2	2/87	1/67	0/31	0/29	1/67	0/31	0/73
IR-T_D3_c2_1	Monzo	6/64	1/35	0/27	1/63	0/86	0/8	1/94	1/08	0/3	2/66	1/61	0/41	0/40	1/61	0/38	0/71
IR-T_D3_c2_2	Monzo	6/63	1/36	0/29	1/65	0/82	0/8	2/04	1/21	0/4	2/53	1/62	0/42	0/39	1/62	0/38	0/68
IR-T_D3_c2_3	Monzo	6/73	1/26	0/30	1/56	0/82	0/6	1/98	1/15	0/3	2/60	1/65	0/36	0/32	1/65	0/34	0/69
IR-T_C10_c1_1	Monzo	7/58	0/41	0/15	0/57	0/57	0/2	1/52	0/95	0/5	3/24	1/65	0/19	0/14	1/65	0/19	0/77
IR-T_C10_c1_2	Monzo	6/89	1/10	0/24	1/34	0/66	0/9	1/91	1/31	0/4	2/64	1/63	0/38	0/34	1/63	0/34	0/67
IR-T_C10_c1_3	Monzo	6/92	1/07	0/20	1/28	0/66	0/10	1/99	1/33	0/4	2/64	1/63	0/39	0/34	1/63	0/36	0/67
IR-T_C10_c2_1	Monzo	6/89	1/10	0/25	1/35	0/71	0/10	2/07	1/35	0/4	2/62	1/64	0/40	0/37	1/64	0/35	0/66
IR-T_C10_c2_2	Monzo	6/93	1/06	0/21	1/27	0/68	0/5	1/88	1/02	0/4	2/80	1/61	0/35	0/30	1/61	0/35	0/73
IR-T_C10_c2_3	Monzo	6/97	1/02	0/24	1/27	0/73	0/6	1/92	1/18	0/3	2/72	1/68	0/38	0/32	1/68	0/38	0/7
IR-T_C10_c5_3	Monzo	7/44	0/55	0/16	0/72	0/64	0/2	1/01	0/37	0/4	2/15	1/64	0/23	0/17	1/64	0/23	0/78
IR-T_A13_c1_1	Monzo	7/07	0/39	0/22	0/81	0/84	0/4	1/80	0/95	0/2	2/89	1/62	0/21	0/21	1/62	0/21	0/75
IR-T_A13_c1_2	Monzo	7/59	0/40	0/11	0/52	0/75	0/2	1/42	0/67	0/3	3/39	1/63	0/15	0/17	1/63	0/15	0/83
IR-T_A13_c1_3	Monzo	7/13	0/86	0/27	1/13	0/68	0/4	1/74	1/05	0/2	2/89	1/64	0/29	0/21	1/64	0/29	0/77
IR-T_A13_c2_1	Monzo	7/05	0/94	0/28	1/23	0/66	0/5	1/79	1/13	0/4	2/82	1/65	0/33	0/25	1/65	0/33	0/71
IR-T_A13_c2_2	Monzo	7/10	0/89	0/47	1/37	0/25	0/5	1/78	1/02	0/2	2/64	1/57	0/40	0/50	1/57	0/40	0/62
IR-T_A13_c2_3	Monzo	7/03	0/96	0/27	1/23	0/73	0/5	1/78	1/05	0/4	2/85	1/65	0/31	0/24	1/65	0/31	0/73
IR-T_A13_c4_1	Monzo	7/64	0/20	0	0/20	0	0/2	0/95	0/95	0/3	2/83	1/41	0/20	0/1	3/41	1/41	0/75
IR-T_A13_c4_2	Monzo	7/89	0/30	0/16	0/47	0/56	0/2	1/39	0/82	0/3	3/37	1/64	0/15	0/9	1/64	0/15	0/8
IR-T_A13_c4_3	Monzo	7/87	0/32	0/57	0/89	0/25	0/3	1/54	1/29	0/3	2/81	1/52	0/22	0/15	1/52	0/22	0/69

جدول ۳. نتایج حاصل از تجزیه فلدوپارها و محاسبه کاتیون‌ها براساس ۸ اکسیژن

ment	TYPE	SiO ₂	TiO ₂	Al ₂ O ₃	FeO	CaO	Na ₂ O	K ₂ O	Total	Si	Ti	Al	Fe	Mn	Mg	Ca	Na	K	Ab	An	Or
IR_T_C1_c1_1	Grano	62.43	..0	24.6	..0	4.76	8.62	..48	100.4	2/76	..0	125	..0	..0	..2	..74	..3	76.84	22.74	2.72	
IR_T_C1_c1_2	Grano	63.13	..0	24.41	..0	4.66	8.68	..41	101.3	2/76	..0	126	..0	..0	..2	..74	..2	75.33	22.36	2.31	
IR_T_C1_c1_3	Grano	60.88	..0	24.24	..0	5.22	8.82	..50	99.18	2/73	..0	128	..0	..0	..2	..71	..3	71.57	25.54	2.89	
IR_T_C1_c1_4	Grano	61.9	..0	24.32	..0	5.40	8.87	..43	98.89	2/72	..0	129	..0	..0	..2	..70	..2	71.17	26.23	2.50	
IR_T_C2_c1_5	Grano	62.59	..0	24.69	..0	5.13	8.73	..48	101.2	2/74	..0	127	..0	..0	..2	..70	..3	72.84	24.75	2.77	
IR_T_C2_c1_6	Grano	61.59	..0	25.17	..0	5.07	8.87	..46	101.2	2/71	..0	130	..0	..0	..2	..76	..3	74.11	23.38	2.51	
IR_T_C2_c1_7	Grano	53.33	..0	20.62	..1	4.36	9.78	..35	88.56	2/71	..0	123	..0	..0	..2	..66	..2	78.78	19.40	1.84	
IR_T_C2_c1_8	Grano	66.28	..0	19.33	..0	5.03	1.03	14.21	99.38	2/97	..0	105	..0	..0	..1	..84	..4	14.04	..04	8.93	
IR_T_C10_c1_1	Monzo	65.59	..0	22.11	..0	2.74	1.08	..11	100.78	2/86	..0	114	..0	..0	..3	..86	..1	86.47	12.89	0.64	
IR_T_C10_c1_2	Monzo	66.33	..0	23.42	..0	2.91	1.05	..15	102.8	2/84	..0	111	..0	..0	..3	..84	..1	85.62	13.58	0.80	
IR_T_C10_c1_3	Monzo	63.21	..0	22.22	..0	2.72	8.62	..23	97.95	2/84	..0	118	..0	..0	..6	..78	..1	87.9	15.57	1.78	
IR_T_C10_c1_4	Monzo	62.88	..0	22.45	..0	3.47	9.33	..32	98.85	2/84	..0	119	..0	..0	..7	..81	..2	81.21	16.72	2.07	
IR_T_C10_c1_5	Monzo	63.96	..0	22.45	..0	3.45	9.85	..35	99.74	2/83	..0	117	..0	..0	..6	..81	..2	81.56	16.43	2.01	
IR_T_C10_c1_6	Monzo	63.88	..0	22.67	..0	3.69	8.82	..28	98.81	2/84	..0	119	..0	..0	..8	..71	..2	81.76	19.50	2.73	
IR_T_C10_c1_7	Monzo	64.80	..0	22.79	..0	3.13	9.61	..23	100.63	2/84	..0	118	..0	..0	..5	..82	..1	83.65	15.04	1.71	
IR_T_C10_c1_8	Monzo	64.02	..0	22.83	..0	3.29	9.75	..18	99.95	2/83	..0	118	..0	..0	..6	..83	..1	83.45	15.05	1.00	
IR_T_C10_c1_9	Monzo	62.42	..0	22.03	..0	3.74	8.87	..26	97.01	2/82	..0	121	..0	..0	..8	..74	..2	82.89	19.49	1.62	
IR_T_C10_c1_10	Monzo	64.17	..0	22.72	..0	3.13	9.80	..19	100.7	2/83	..0	118	..0	..0	..5	..84	..1	84.49	14.84	1.05	
IR_T_C10_c1_11	Monzo	63.71	..0	22.45	..0	3.24	9.54	..27	99.30	2/83	..0	118	..0	..0	..5	..82	..2	82.92	15.54	1.05	
IR_T_C10_c2_1	Monzo	63.79	..0	23.3	..0	3.53	9.42	..26	100.10	2/81	..0	120	..0	..0	..7	..81	..1	81.81	16.92	1.47	
IR_T_C10_c2_2	Monzo	63.91	..0	23.7	..0	3.54	9.74	..28	100.63	2/81	..0	119	..0	..0	..7	..83	..2	81.96	16.47	1.57	
IR_T_C10_c2_3	Monzo	64.85	..0	22.88	..0	3.29	9.97	..28	100.84	2/82	..0	118	..0	..0	..6	..84	..2	82.82	15.65	1.53	
IR_T_C10_c2_4	Monzo	63.49	..0	22.4	..0	2.93	9.43	..22	98.13	2/85	..0	117	..0	..0	..4	..82	..1	84.22	14.47	1.31	
IR_T_C10_c2_5	Monzo	62.57	..0	22.58	..0	2.71	9.30	..29	98.45	2/81	..0	120	..0	..0	..8	..81	..2	82.55	17.78	1.66	
IR_T_C10_c2_6	Monzo	63.10	..0	20.99	..0	2.11	1.07	..20	96.53	2/88	..0	113	..0	..0	..0	..89	..0	88.61	1.33	1.16	
IR_T_C10_c2_7	Monzo	62.87	..0	22.72	..0	3.08	9.20	..26	98.83	2/81	..0	120	..0	..0	..8	..80	..0	80.57	17.93	1.50	
IR_T_C10_c2_8	Monzo	64.65	..0	17.00	..0	2.97	9.75	..23	72.05	2/82	..0	121	..0	..0	..9	..82	..2	74.50	23.37	2.11	
IR_T_D3_c1_1	Monzo	63.43	..0	23.18	..0	3.85	9.31	..29	99.91	2/80	..0	121	..0	..0	..8	..80	..2	80.85	17.52	1.63	
IR_T_D3_c1_2	Monzo	62.77	..0	22.69	..0	3.57	9.34	..26	98.86	2/81	..0	120	..0	..0	..7	..81	..1	81.34	17.20	1.46	
IR_T_D3_c1_3	Monzo	63.68	..0	23.01	..0	3.57	9.46	..23	100.10	2/81	..0	120	..0	..0	..7	..81	..2	81.21	16.85	1.84	
IR_T_D3_c1_4	Monzo	62.22	..0	22.99	..0	3.63	9.26	..27	99.85	2/81	..0	120	..0	..0	..7	..80	..2	80.45	17.41	2.14	
IR_T_D3_c1_5	Monzo	63.52	..0	19.10	..0	1.01	1.01	14.85	98.53	2/97	..0	105	..0	..0	..9	..88	..3	93.7	..7	9.55	
IR_T_D3_c1_6	Monzo	63.56	..0	23.13	..0	3.57	9.38	..28	100.10	2/82	..0	120	..0	..0	..7	..80	..2	80.88	17.52	2.13	
IR_T_D3_c1_7	Monzo	63.82	..0	23.00	..0	3.62	9.26	..25	100.18	2/81	..0	119	..0	..0	..7	..79	..2	80.81	17.41	1.98	
IR_T_D3_c1_8	Monzo	63.55	..0	22.81	..0	3.45	9.79	..23	99.73	2/81	..0	119	..0	..0	..6	..81	..2	81.74	16.44	1.82	
IR_T_D3_c2_1	Monzo	60.70	..0	24.11	..0	2.87	8.89	1.01	96.93	2/75	..0	120	..0	..0	..4	..73	..0	78.59	14.81	8.60	
IR_T_D3_c2_2	Monzo	63.64	..0	22.71	..0	3.41	9.55	..21	99.77	2/82	..0	119	..0	..0	..6	..82	..2	82.74	16.91	1.72	
IR_T_D3_c2_3	Monzo	63.72	..0	22.93	..0	3.49	9.49	..21	99.74	2/82	..0	119	..0	..0	..6	..81	..1	82.98	16.45	0.58	
IR_T_D3_c2_4	Monzo	70.39	..0	20.70	..0	2.73	1.28	11.28	100.43	2/96	..0	103	..0	..0	..8	..92	..0	91.35	7.76	0.89	
IR_T_D3_c2_5	Monzo	63.10	..0	22.87	..0	3.38	9.65	..10	99.18	2/82	..0	119	..0	..0	..6	..84	..1	82.48	16.46	1.84	
IR_T_D3_c2_6	Monzo	64.29	..0	22.07	..0	3.08	9.87	..26	100.15	2/83	..0	117	..0	..0	..5	..85	..0	84.07	14.49	1.44	
IR_T_D3_c2_7	Monzo	63.15	..0	23.00	..0	3.57	9.77	..14	99.68	2/80	..0	120	..0	..0	..7	..84	..1	82.49	16.71	0.80	
IR_T_D3_c2_8	Monzo	63.61	..0	22.80	..0	3.28	9.47	..17	99.97	2/82	..0	119	..0	..0	..6	..81	..1	82.70	16.31	0.99	
IR_T_A13_c1_1	Monzo	62.32	..0	23.05	..0	4.02	8.96	..27	100.12	2/79	..0	122	..0	..0	..9	..77	..2	78.43	19.84	2.11	
IR_T_A13_c1_2	Monzo	61.47	..0	22.25	..0	3.62	8.93	..29	96.66	2/81	..0	120	..0	..0	..8	..79	..2	80.29	17.98	1.73	
IR_T_A13_c1_3	Monzo	62.91	..0	22.89	..0	3.54	9.28	..21	98.93	2/81	..0	120	..0	..0	..7	..80	..1	81.60	17.19	1.20	
IR_T_A13_c1_4	Monzo	63.20	..0	22.88	..0	3.48	9.64	..34	99.61	2/81	..0	120	..0	..0	..7	..83	..2	81.80	16.33	1.88	
IR_T_A13_c1_5	Monzo	64.28	..0	22.82	..0	3.45	9.83	..34	100.12	2/81	..0	120	..0	..0	..6	..83	..2	82.20	15.93	1.88	
IR_T_A13_c1_6	Monzo	62.79	..0	23.40	..0	3.96	9.27	..27	99.75	2/79	..0	122	..0	..0	..9	..79	..2	79.55	18.93	1.53	
IR_T_A13_c1_7	Monzo	60.76	..0	22.44	..0	4.04	8.73	..26	95.76	2/79	..0	122	..0	..0	..8	..74	..2	77.60	20.33	1.58	
IR_T_A13_c1_8	Monzo	59.66	..0	21.81	..0	3.29	8.93	..18	93.64	2/81	..0	119	..0	..0	..7	..74	..1	81.5	16.45	1.44	
IR_T_A13_c2_1	Monzo	60.83	..0	22.91	..0	3.69	9.77	..21	95.27	2/83	..0	115	..0	..0	..8	..84	..0	82.39	13.25	4.36	
IR_T_A13_c2_2	Monzo	63.49	..0	22.80	..0	3.49	9.61	..24	99.95	2/81	..0	119	..0	..0	..7	..82	..1	81.99	16.44	1.38	
IR_T_A13_c2_3	Monzo	62.97	..0	22.83	..0	3.52	9.77	..20	97.64	2/81	..0	119	..0	..0	..8	..82	..1	81.87	16.97	1.16	
IR_T_A13_c2_4	Monzo	63.59	..0	22.84	..0	3.68	8.88	..18	100.27	2/81	..0	121	..0	..0	..7	..76	..0	77.53	17.78	4.68	
IR_T_A13_c2_5	Monzo	61.32	..0	22.47	..0	3.28	9.76	..14	99.68	2/81	..0	122	..0	..0	..8	..83	..2	79.25	18.48	1.91	
IR_T_A13_c2_6	Monzo	63.98	..0	22.89	..0	4.05	9.71	..28	100.12	2/81	..0	122	..0	..0	..9	..79	..2	78.91	18.9		

ادامه جدول ۳

moment	TYPE	SiO ₂	TiO ₂	Al ₂ O ₃	FeO	CaO	Na ₂ O	K ₂ O	Total	Si	Ti	Al	Fe	Mn	Mg	Ca	Na	K	Ab	An	Or
IR_T_C5_c1_6	Tun	67.5	0.0	20.14	0.2	0.47	11.67	0.9	99.9	2.96	0.0	1.4	0.00	0.00	0.2	0.99	0.1	97.82	2.17	0.52	
IR_T_C5_c1_7	Tun	66.7	0.0	19.84	0.0	0.59	11.30	0.10	97.91	2.95	0.0	1.0	0.00	0.00	0.3	0.98	0.01	96.62	2.81	0.57	
IR_T_C5_c1_8	Tun	67.0	0.1	20.08	0.0	0.51	11.82	0.10	99.54	2.95	0.0	1.4	0.00	0.00	0.2	1.01	0.01	97.12	2.82	0.56	
IR_T_C5_c1_Or	Tun	63.69	0.0	18.77	0.3	0.00	0.2	0.9	16.29	99.09	2.97	0.0	1.0	0.00	0.00	0.3	0.97	2.65	0.11	97.24	
IR_T_C5_c1_Or-2	Tun	63.95	0.0	18.97	0.3	0.00	0.2	0.9	15.41	99.31	2.97	0.0	1.4	0.00	0.00	0.0	0.8	0.91	8.31	0.00	
IR_T_C5_c1_Or-3	Tun	64.00	0.2	19.02	0.0	0.00	0.65	0.77	99.46	2.97	0.0	1.0	0.00	0.00	0.0	0.6	0.93	5.90	0.00	94.10	

فراوانی اکسیدهای آلومینیم و تیتانیم موجود در آمفیبیول، خاستگاه پوسته‌ای و گوشته‌ای تفکیک شده است (Jiang, 1984) که در این نمودار آمفیبیول‌های واحد مونزودیبوریت و گرانودیبوریت در محدوده اختلاط پوسته و گوشته قرار گرفته‌اند (شکل ۴-۵).

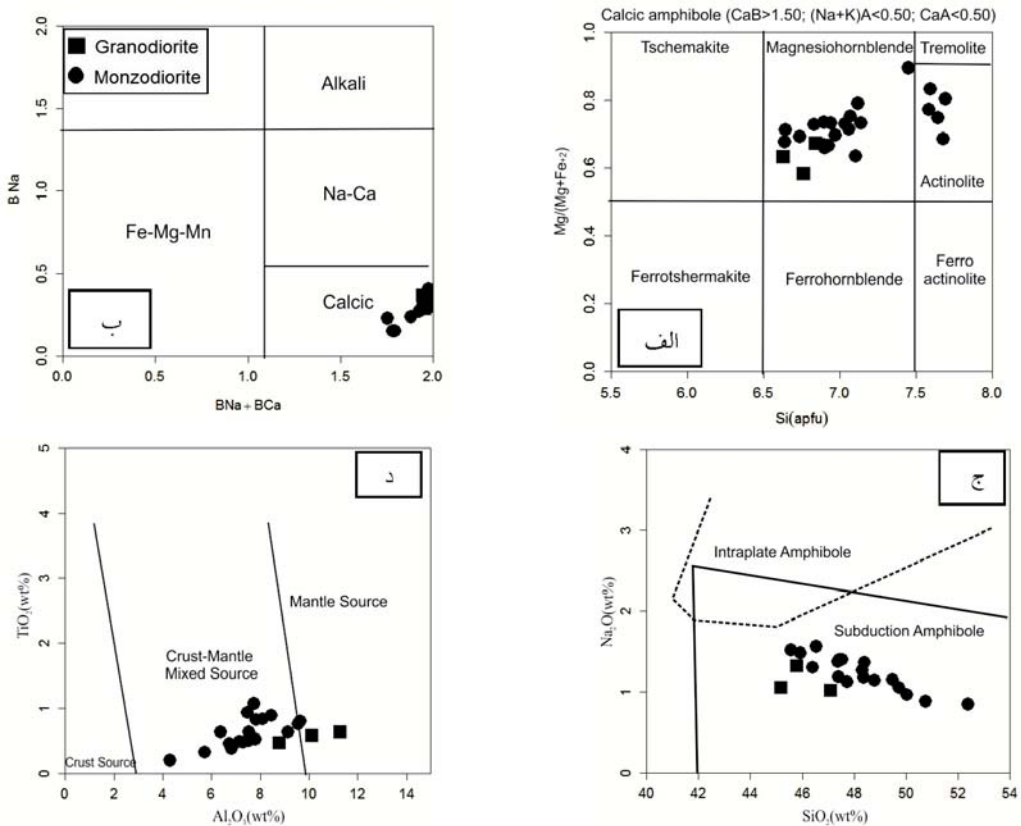
شیمی کانی‌ها

آمفیبیول

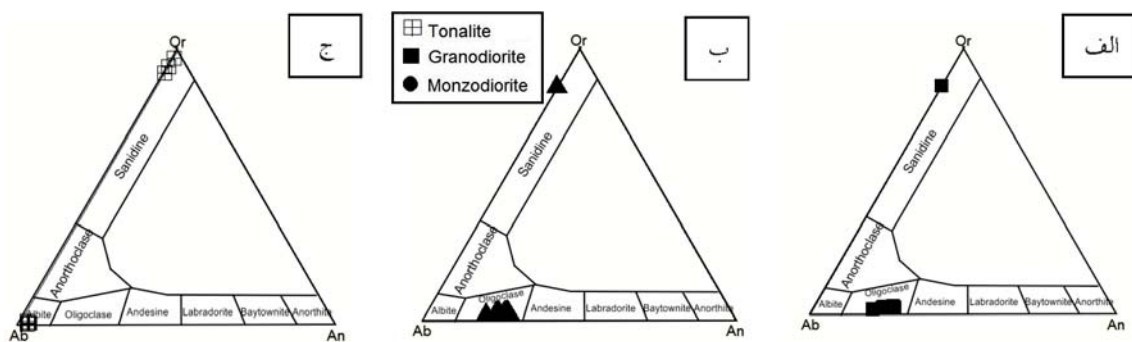
گستره Si در آمفیبیول‌ها برابر است با ۶/۶۲ تا ۷/۶۹ اتم در واحد فرمولی (apfu) و محتوای Na₂O آن‌ها ۰/۲۶ تا ۱/۵۶ است. مقدار کلسیم در جایگاه BCa (BCa) آن‌ها بین ۱/۵۲ تا ۳/۴۱ و میزان (BNa) کمتر از ۰/۴ است که با توجه به این مقدار از نوع آمفیبیول‌های کلسیک هستند. بیشتر آمفیبیول‌ها از نظر ترکیب در رده‌بندی Leake et al., 1997 در جایگاه مگنزیوهومنبلند و تعدادی نیز از نوع اکتینولیت هستند (شکل ۴-الف و ب). تغییر ترکیب هورنبلند به سمت ترکیبات اکتینولیتی که حاوی سیلیس و منیزیم بالاتر و Al, Na, K و Ti کمتری هستند ناشی از دگرسانی گرمابی و تجزیه است (Agemar et al., 1999). برخی از پژوهشگران حضور آمفیبیول‌های کلسیک در سنگ‌های گرانیت‌وئیدی را نشانه‌یابی کردند (Chappell and White, 1974) می‌دانند نوع I می‌تودهای این سنگ‌ها به حضور همزمان مگنتیت، اسفن و کوارتز همراه آمفیبیول، مبین بالا بودن گریزندگی اکسیژن و نشان‌دهنده تشکیل این واحدها در ارتباط با مرز ورقه‌های همگراست Mg/Mg+Fe (Anderson and Smith, 1995). نسبت در مجموعه آمفیبیول‌ها از ۰/۰۵۸ تا ۰/۰۹ در تغییر است. مقدار Ti موجود در آن‌ها کمتر از ۱ apfu است. ترکیب شیمیابی آمفیبیول راهنمای مناسبی برای تعیین خاستگاه ماقما محسوب می‌شود. از ترکیب آمفیبیول برای تشخیص محیط زمین‌ساختی، بهویژه تمایز محیط فروزانشی از محیط درو صفحه‌ای استفاده شده است (Coltoriti et al., 2007) که در این نمودار نمونه‌های آمفیبیول‌های واحدهای مونزودیبوریت و گرانودیبوریت در محدوده محیط فروزانش پلات شده‌اند (شکل ۴-ج). همچنین با استفاده از

فلدسبار

در جدول ۳، نتایج ریزکاو الکترونی پلازیوکلازهای موجود در مونزودیبوریتها، گرانودیبوریتها و توپالیت‌ها ارائه شده است (جدول ۱). براساس رده‌بندی Deer et al., 1991) ترکیب پلازیوکلازها در واحد مونزودیبوریت از آلیت تا اولیگوکلاز (An_{7.76}-An_{23.33}), گرانودیبوریت از نوع اولیگوکلاز (An_{1.74}-An_{26.33}) و توپالیت از نوع آلبیت (An_{19.4}-An_{28.1}) در تغییر است (شکل ۵-الف، ب و ج). بلورهای پلازیوکلاز در واحدهای مونزودیبوریت و گرانودیبوریت دارای منطقه‌بندی و در توپالیت فاقد منطقه‌بندی هستند (شکل ۶). الگوی منطقه‌بندی در بلورهای پلازیوکلاز از حاشیه به مرکز در شکل ۶، به تصویر کشیده شده است. این الگو در واحد مونزودیبوریت از نوع نوسانی با ترکیب آلبیت و اولیگوکلاز است و در واحد گرانودیبوریت از نوع نوسانی با ترکیب اولیگوکلاز بوده است (شکل ۵-الف) و (شکل ۶). همچنین این الگو، حاکی از وجود ارتوکلاز در اطراف پلازیوکلاز است که نشان‌دهنده وجود بافت آنتی‌رایکیوی در این واحد است (شکل ۶). بعلاوه فلدسبارهای پتانسیم در واحد توپالیت از نوع ارتوکلاز هستند (شکل ۵-ج). برای پیدایش منطقه‌بندی بخصوص منطقه‌بندی نوسانی، دلایلی چون تغییر ترکیب شیمیابی ماقما (Agemar et al., 1999)، انتشار ترکیبات سازنده کانی نسبت به سطح بلور (Bottinga et al., 1966)، تغییر شرایط فیزیکی و ترمودینامیکی سیستم ماقمایی که متجر به عدم تعادل شیمیابی در طور



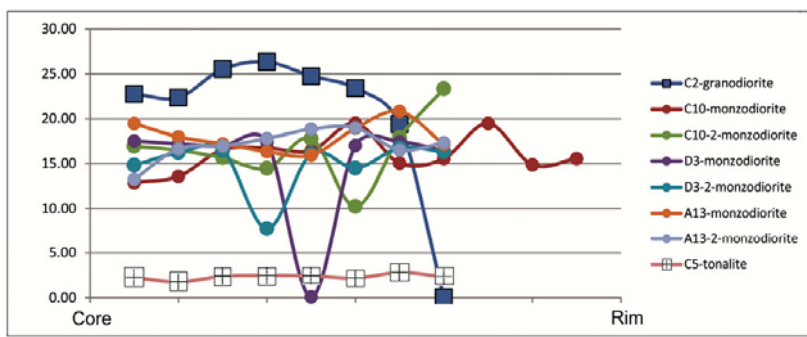
شکل ۴. (الف و ب)، ردیبندی آمفیبول در توده‌های مونزودیبوریتی و گرانودیبوریتی جنوب کمپلکس سورسات (Leake et al., 1997) (و ج) نمودار SiO_2 در برابر TiO_2 جهت تعیین محیط تکتونیکی (Coltorti Coltoriti et al., 2007) (و د) نمودار Al_2O_3 در برابر Na_2O جهت تعیین ترکیب ماگمای تشکیل‌دهنده بلورهای آمفیبول (Jiang, 1984)



شکل ۵. ردیبندی فلدسپارها براساس نمودار (Deer et al., 1991)، در واحدهای (الف) مونزودیبوریتی خانقلی و ترکه‌دره، (ب) گرانودیبوریتی پیچاچی و (ج) بخش تونالیتی پیچاچی

فرورونده طی افزایش فشار آب و حضور رسوبات، عواملی چون تغییر ترکیب شیمیابی، اختلاط ماگمایی و تغییرات گریزندگی اکسیژن احتمالاً در تغییر ترکیب پلازیوکلаз نقش داشته است.

تبادل ماگما می‌شود (Hasse et al., 1980)، اختلاط ماگمایی (Nelson and Montana, 1992) و تغییرات فار بخار آب (Bateman, 1994) ارائه شده است. که به نظر می‌رسد با توجه به تشکیل واحدهای نفوذی مورد مطالعه در محیط فرورانش و حضور عواملی چون آزاد شدن آب از ورقه



شکل ۶. الگوی منطقه‌بندی در بلورهای پلاژیوکلاز در واحدهای نفوذی کمپلکس سورسات

می‌دهند (شکل ۸-الف). در این نمودار می‌توان به آنومالی عناصری چون Nb، Ti و Ba اشاره نمود (شکل ۸-الف)، که بنابر عقیده (Foley et al., 1990) تهدی شدگی از این عناصر نشان‌دهنده محیط مرتبط با فرورانش است. بعلاوه نمودار عنکبوتی نمونه‌های گرانودیوریتی دارای آنومالی منفی K، Th و Rb و غنی‌شدگی از P، Ba، Nb و Ti، به استفاده از ویژگی‌های مذاب‌های پوسته‌ای است. نسبت Th/Ta نسبت ارزشمندی برای تعیین محیط تکتونیکی و منشا است زیرا این دو عنصر در طی فرایندهای ذوب و تبلور رفتارهای مشابهی دارند (Joron and Treuil, 1977). نسبت اندک Th/Ta (حدود ۲/۱) بیانگر محیط تکتونیکی کششی مانند پهنه‌های گسترش کف اقیانوس یا ماجماتیسم درون صفحه‌ای است. حال آن‌که نسبت Th/Ta بالا بیانگر محیط تکتونیکی حاشیه همگرا و محیط فرورانش است این نسبت در گرانیت‌وئیدهای مورد مطالعه از ۲/۶۷ تا ۱۰/۸۳ در تغییر است (جدول ۴) و تایید کننده ارتباط نمونه‌های مورد مطالعه با محیط فرورانش است.

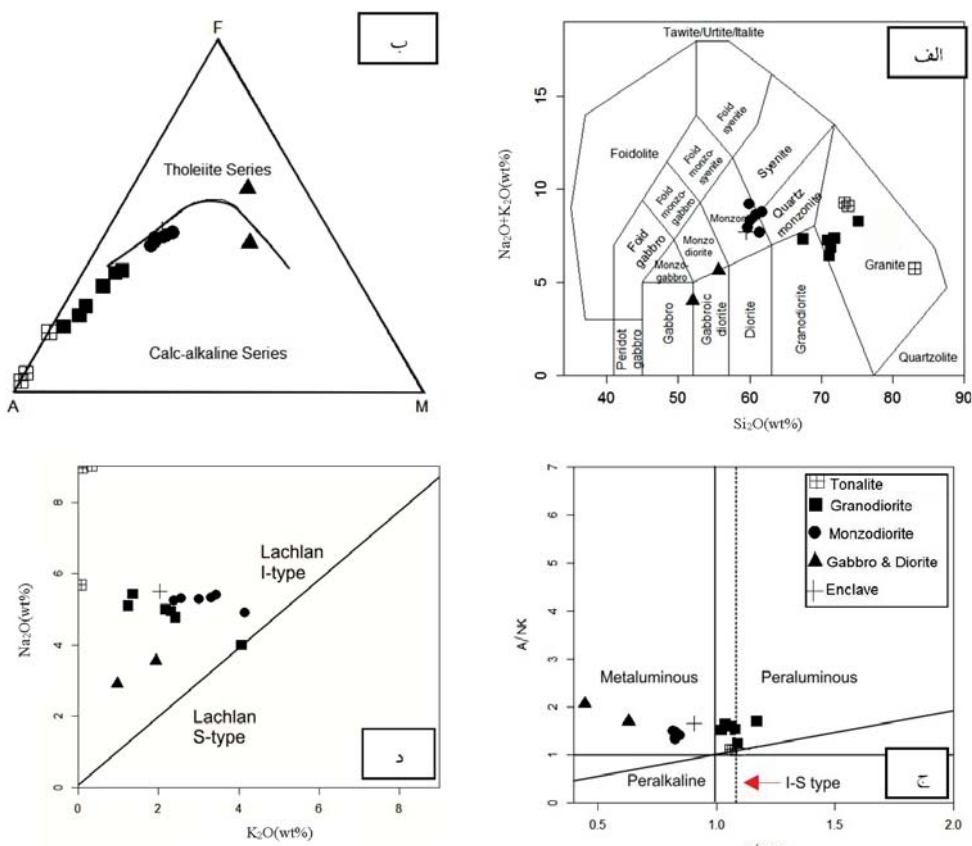
آنومالی منفی Ti مرتبط با جدایش کانی‌های حاوی تیتانیم مانند اسفن و آنومالی منفی P نتیجه جدایش آپاتیت است. بعلاوه آنومالی منفی K در دسته تونالیت‌ها به جهت ترکیب شیمیایی و کانی‌شناسی خاص آن‌هاست (شکل ۸-الف، ب).

در الگوهای فراوانی عناصر نادر خاکی (REE) بهنجار شده نسبت به کندریت (Boynton, 1984) برای واحدهای مختلف سنگی مورد مطالعه (شکل ۸-ج، و، د) شیب نمودار عناصر REE در واحدهای مافیک، حدواسط و فلسیک (گرانودیوریت) ($\text{La}/\text{Yb}(\text{N}) = ۹/۹-۹/۸$) است (جدول ۱)

ژئوشیمی

به‌منظور طبقه‌بندی ژئوشیمیابی نمونه‌های برداشت شده، طبقه‌بندی شیمیابی مجموع قلیایی ($\text{Na}_2\text{O} + \text{K}_2\text{O}$) در مقابل SiO_2 , (Middlemost, 1994) مورد استفاده قرار گرفت. در این نمودار نمونه‌های مورد مطالعه در محدوده گابرو، دیوریت‌گابروی، مونزونیت و گرانیت تصویر شده‌اند (شکل ۷-الف). جهت تعیین سری ماقمایی از نمودار AFM, (Irvine and Baragar, 1971) استفاده شده است که در این نمودار تمامی نمونه‌ها، در محدوده سری کالک‌آلکالن قرار می‌گیرند (شکل ۷-ب). در نمودار تغییرات نسبت‌های مولکولی $\text{Al}_2\text{O}_3/(\text{CaO} + \text{Na}_2\text{O} + \text{K}_2\text{O})$ در برابر $\text{Al}_2\text{O}_3/(\text{Na}_2\text{O} + \text{K}_2\text{O})$ ، (A/CNK در برابر A/NK) نسبت به $\text{Al}_2\text{O}_3/(\text{Na}_2\text{O} + \text{K}_2\text{O})$ نسبت به شدنی (Shand, 1943) نمونه‌های مافیک و حدواسط در محدوده متالومین و نمونه‌های فلسیک (گرانودیوریت و تونالیت) در محدوده پرآلومین قرار می‌گیرند (شکل ۷-ج). همچنین با توجه به نمودارهای A/CNK نسبت به (Shand, 1943) A/NK و $\text{K}_2\text{O}/\text{Na}_2\text{O}$ در برابر (White and Chappell 1983) گرانیت‌وئیدهای مورد مطالعه در محدوده گرانیت‌های تیپ I ترسیم می‌شوند (شکل ۷-ج و د).

در نمودار عنکبوتی (چند عنصری) گرانیت‌وئیدهای مورد مطالعه نسبت به مقادیر کندریت (Thompson, 1982) بهنجار شده‌اند (شکل ۸-الف، ب). در این نمودارها، میزان عناصر LILE (Rb, Th) نسبت به ESFH نسبت به (Nb, Ta, Hf, Zr, Sm, Yb) در واحدهای مافیک، حدواسط و فلسیک (گرانودیوریت) غنی‌شدگی نشان



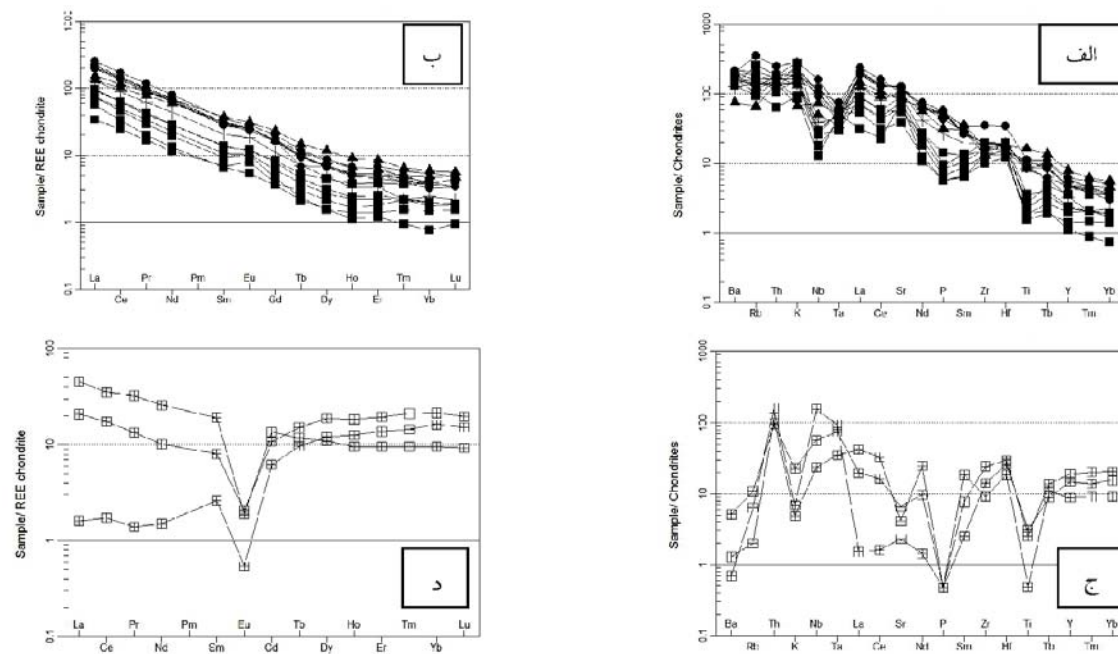
شکل ۷. (الف) نمودار مجموع قلیایی ($\text{Na}_2\text{O} + \text{K}_2\text{O}$) در مقابل SiO_2 ، (ب) نمودار (Irvin and Baragar, 1971)، (ج) نمودار تعیین سری ماقمایی (Shand, 1943)، (د) نمودار Na_2O در برابر K_2O (White and Chappell, 1983)

موجب آنومالی مثبت Eu در واحدهای مافیک، حدواسط و گرانودیوریت‌ها باشد (Henderson, 1984).

محیط تکتونیکی و سنگ منشا (پروتوولیت)

جهت تعیین خاستگاه زمین‌ساختی، در نمودار عناصر اصلی تفکیک‌کننده محیط تکتونیکی گرانیتوئیدها (Verma et al., 2012) نمونه‌های مافیک، حدواسط و فلزیک در محدوده کمان ماقمایی در حاشیه فعال قاره قرار می‌گیرند (شکل ۹-الف). به علاوه جهت تعیین نوع پروتوولیت منشا از نمودارهای مقادیر مولا (CaO/(MgO+FeOt) در برابر درصد وزنی Na₂O (شکل ۹-ب) و مقادیر مولا (Al₂O₃)/(MgO+FeOt) در برابر CaO/(MgO+FeOt) (شکل ۹-ج) استفاده شد که نمونه‌های گرانودیوریت، گرانودیوریت و تونالیت-ترنجمیت در محدوده متابازالت ترسیم شده‌اند (شکل ۹-ب، ج و د).

که این مقادیر عددی شب نمودار، حاکی از غنی‌شدنی از عناصر LREE نسبت به HREE است و وابستگی نمونه‌های مورد مطالعه به سری کالک‌آلکالن را نشان می‌دهد (شکل ۸-ج). اما واحد تونالیت-ترنجمیت دارای الگوهای REE کمتر تفریق یافته ($\text{La/Yb}_{\text{N}} = 0.10/0.79$) و در مقابل مقادیر HREE بالا هستند (شکل ۸-د). در نمودار عناصر نادر خاکی واحدهای مافیک و حدواسط و فلزیک (گرانودیوریت) عنصر Eu دارای آنومالی مثبت به میزان عددی ($\text{Eu/Eu}^* = 1.05/1.57$) و در واحد تونالیت-ترنجمیت دارای آنومالی منفی Eu به میزان عددی ($\text{Eu/Eu}^* = 0.12/0.22$) (جدول ۱) است (شکل ۸-ج و د). وجود آنومالی منفی Eu در واحد تونالیت-ترنجمیت نشان‌دهنده تبلور تفریقی فلدسپار در طی تبلور ماقماست و حاکی از وجود پلاژیوکلاز در مجموعه باقی‌مانده می‌باشد (Tepper et al., 1993).



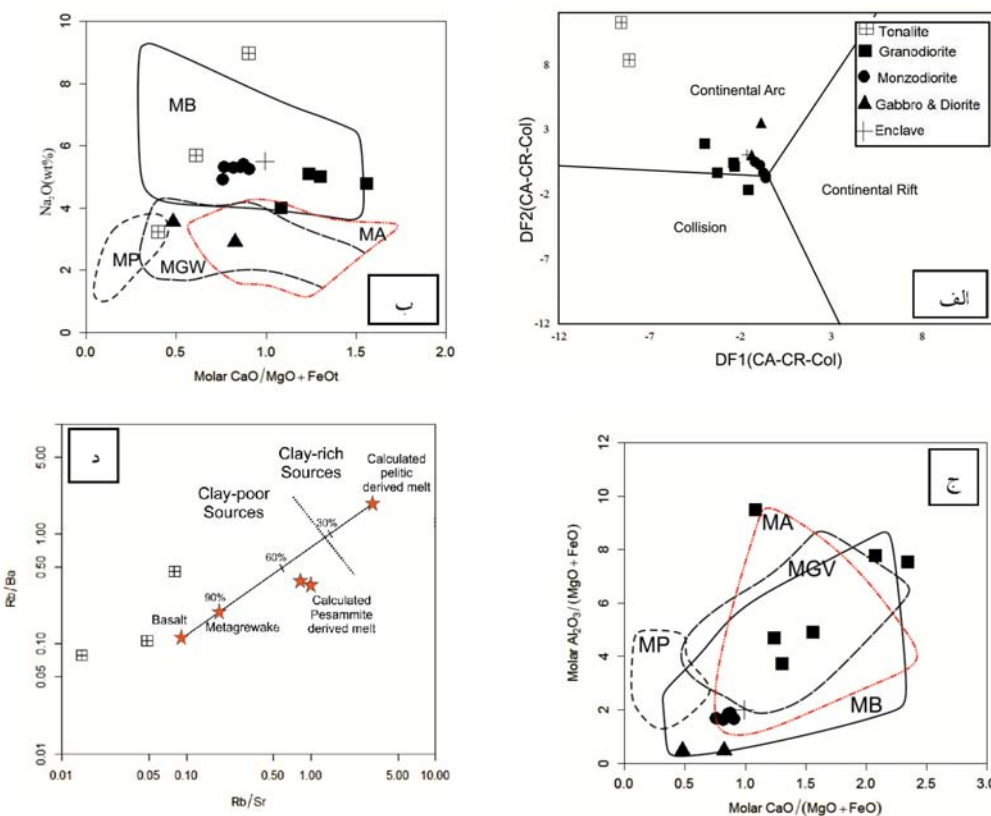
(شکل ۸) الف و ب) نمودار عنکبوتی تغییرات عناصر کمیاب نمونه‌های گرانیتoidی که نسبت به فراوانی آن‌ها در کندریت (Thompson, 1982) و ب) نمودار عنکبوتی تغییرات عناصر کمیاب نمونه‌های گرانیتoidی که نسبت به فراوانی آن‌ها در کندریت (Boynton, 1984) بهنجار شده‌اند، ج و د) الگوهای REEs، بهنجارشده نسبت به فراوانی آن‌ها در کندریت (Boynton, 1984).

جدول ۴. نتایج آنالیز شیمیابی ICP-MS و مقادیر نورم براساس CIPW نمونه‌های گرانیتoidی جنوب کمپلکس سورسات.

Sample No.	Gabbro Diorite	Diorite	Monzodiorite					Granodiorite					Tonalite					
	IR-T-C11	IR-T-C6	IR-T-C10	IR-T-D2	IR-T-D3	IR-T-D5	IR-T-D9E	IR-T-D9H	IR-T-A13	IR-T-A6	IR-T-A15	IR-T-C1	IR-T-C2	IR-T-D17	IR-T-D23	IR-T-C8	IR-T-B2	IR-T-C5
Major Elements (wt%)																		
SiO ₂	50.54	54.27	58.9	52.21	59.94	51.4	58.1	61.19	59.4	70.25	72.48	70.25	66.24	70.89	70.36	83.26	72.33	72.78
TiO ₂	1.7	1.7	1.7	0.88	0.92	0.91	0.86	0.97	1.13	0.19	0.16	0.24	0.27	0.19	0.27	0.05	0.22	0.26
Al ₂ O ₃	12	13.48	16.46	17.4	17.28	17.38	18.08	16.74	16.99	16.55	13.67	15.86	17.26	16.17	16.49	10.37	16.22	16.79
Fe ₂ O ₃	1.89	6.11	5.08	4.28	4.94	4.62	4.62	4.62	5.13	1.71	1.07	1.9	2.44	1.20	2.03	0.66	0.3	0.18
FeO	7.99	5.49	4.07	4.13	4.44	4.17	4.15	4.15	4.61	1.18	0.96	1.71	2.19	1.8	1.82	0.59	0.27	0.16
CaO	11.62	7.39	4.17	4.4	4.82	4.02	5.05	5.07	4.99	5.07	5.07	5.07	5.07	5.07	5.07	0.15	0.12	0.17
MgO	7.86	9.48	2.66	2.48	2.99	2.09	2.01	2.05	3.37	0.54	0.3	0.8	1.22	0.52	0.88	0.1	0.2	0.1
Na ₂ O	2.9	3.05	4.91	5.01	5.29	5.23	5.0	5.25	5.2	5.42	4	4.77	4.99	4.94	5.09	5.61	8.97	9.02
K ₂ O	0.97	1.13	4.14	3.43	3.01	3.13	2.03	2.39	2.57	1.36	4.07	2.42	2.18	2.31	1.24	0.7	0.1	0.23
MnO	0.14	0.1	0.06	0.06	0.07	0.07	0.06	0.07	0.07	0.02	0.02	0.03	0.01	0.02	<0.01	<0.01	<0.01	<0.01
P ₂ O ₅	0.52	0.23	0.59	0.45	0.53	0.58	0.28	0.56	0.61	0.06	0.08	0.09	0.15	0.07	0.1	<0.01	<0.01	0.01
Cr ₂ O ₃	0.03	0.08	<0.01	0.01	0.01	<0.01	<0.01	<0.01	0.01	<0.01	<0.01	<0.01	<0.01	<0.01	<0.01	<0.01	<0.01	<0.01
LOI	1.71	1.46	0.5	0.43	0.82	0.42	0.82	0.75	0.82	0.41	0.54	0.54	0.3	0.66	0.13	0.29	0.17	0.17
Total	99.5	99.32	99.11	1.166	1.077	1.074	9.8488A	1.018	1.055	99.299	98.37	99.999	98.78	99.322	99.1	1.05	99.76	100.9
Trace Elements (ppm)																		
Ba	513.7	1317.6	1424	1482	1424	1453.7	1873.7	1725	1189	1144	917.7	998.2	1033	1227	9.44	8.9	4.8	3.04
Rb	22.20	43.0	122.0	74.0	54	64	59.0	47.7	25.0	9.0	58.2	52.0	59.0	32.0	0.70	2.20	3.8	3.8
Sr	963.8	1.823	12.7	15.1	14.85	14.95	12.81	14.12	15.4	8.80	45.94	8.96	1.85	76.88	43.72	4.85	22.4	28.8
Zr	120	89	239	130	133	129	128	134	118	99	93	1.9	137	1.9	1.1	63	97	147
Nb	25.70	17.5	56.20	37.6	32	36	13.6	36	27.7	4.5	10.2	1.10	9.1	43.0	9.20	8.30	54.50	19.90
Ni	119.20	22.2	36.5	32.1	40.70	34.7	12.4	40.9	7	4	2.50	1.0	15.0	1.9	2.40	1	1.20	1.20
Co	36.8	32.7	15.0	13	15.3	13	13	14.0	14.8	2.10	2.10	2.10	5.8	2.20	3.7	1.50	0.20	0.10
Cr	19.8	5.0	8	8	8.4	7.7	3.3	9	7.2	2	5	2.3	2.8	2	2.2	4.6	2	2
Y	15.8	11.7	12.0	9.7	9.4	9.5	6.0	9.8	9.8	4	2.8	4.5	4.8	2.2	2.2	17.70	29.50	37.60
U	1.98	1.38	2.38	1.72	1.65	1.75	1.58	2.25	1.54	0.92	1.29	1.40	1.23	1.32	1.57	1.95	1.48	1.48
Cs	0.81	1.6	2.19	1.22	1.18	1.28	1.31	0.91	0.95	1.74	1.60	1.37	1.22	1.16	0.7	0.11	0.3	0.1
Ta	1	0.70	1.20	1.05	0.80	0.90	0.90	1	1.10	1	1.10	1.10	0.80	0.80	0.7	1.9	1.50	1.50
Hf	2.7	3	6.9	2.7	3.6	3.7	2.9	3	2.7	2.1	3.7	3.9	2.7	3.6	3.7	5.3	5.9	5.9
Th	5.97	7.47	1.033	7.05	5.01	6	6.73	8.14	2.67	7.75	6.82	5.01	4.44	6.5	4.85	6.81	4.05	4.05
Ga	16.7	17	22.4	20.4	20.8	20.5	21	20	19.80	16	19.20	19.50	20.30	17.90	14.40	37.20	10.70	10.70

ادامه جدول ۴

Sample No.	Gabbro Diorite	Diorite	Monzodiorite					Granodiorite				Tonalite							
	IR-T-C11	IR-T-C6	IR-T-C10	IR-T-D2	IR-T-D3	IR-T-D5	IR-T-D9E	IR-T-D9H	IR-T-A13	IR-T-A6	IR-T-A15	IR-T-C1	IR-T-C2	IR-T-D17	IR-T-D23	IR-T-C8	IR-T-B2	IR-T-C5	
Sn	Δ	Δ	Δ	Δ	Δ	Δ	Δ	Δ	Δ	Δ	Δ	Δ	Δ	Δ	Δ	Δ	Δ		
V	177	121	1.5	9.	8.4	8.8	7.3	4.	8.9	15	12	2.9	1.3	1.8	1.1	1.5	1.1		
W	1	<1	1	1	1	1	1	<1	<1	1	1	2	<1	<1	<1	1	2		
Sc	36/70.	2.0-8.	2.0-9.	2.0-9.	2.0-8.	2.0-8.	2.0-8.	2.0-8.	2.0-8.	2.0-8.	2.0-8.	2.0-8.	2.0-8.	2.0-8.	2.0-8.	2.0-8.	2.0-8.		
TC	0.22	<0.1	<0.1	0.1	0.1	0.1	0.1	0.1	0.1	0.1	0.1	0.1	0.1	0.1	0.1	0.1	0.1	0.1	
TS	0.1	<0.1	<0.1	<0.1	<0.1	<0.1	<0.1	<0.1	<0.1	<0.1	<0.1	<0.1	<0.1	<0.1	<0.1	<0.1	<0.1	<0.1	
La	47/9.	41/5.	28/4.	89	92	95	39/8.	65/8.	61/0.	1.0-8.	17/4.	22/4.	29/1.	23	29/7.	13/9.	0.5.	6.5.	
Ce	97/5.	11/4.	13/8.5	119/1.	107/6.	112/6.	7/8.	114/7.	118/6.	19/9.	26/8.	4.5.	51/6.	28/5.	14.	14.2			
Pr	1/1.	9/5.	14/3.5	12/11	12/11	12/11	7/5.2	11/8.3	11/9	20/3.	24/8.	49/8.	5/3.	5/2.	3/9.	0.17	1.65		
Nd	41/3.	35/8.	47/7.	41/6.	37/7.	22/7.	26/10.	39/6.	37/9.	9/9.	13/8.	17	11/0.	15/8.	0.9.	6.1.			
Sm	7/22	6/1.	6/1.2	5/1.6	5/4.6	5/5.5	4/0.3	5/4.3	5/4.6	1/3.	1/2.	2.8.	1/7.	2/7.	3/7.	0.51	1/0.7		
Eu	2.27	1.0	2.0	1.8	1.91	1.88	1.37	1.8	1.75	0.59	0.39	0.75	0.19	0.74	0.16	0.4	0.5		
Gd	0.97	4.35	5.2	4.38	4.12	4.22	2.8	4.24	4.17	0.99	0.93	0.57	2	1/1.	2/1.	3/5.	1/6.	2/8.3	
Tb	0.7	0.53	0.58	0.46	0.44	0.22	0.33	0.47	0.45	0.14	0.1	0.11	0.11	0.25	0.05	0.48	0.72		
Dy	3.77	2.6	2.8	2.24	2.18	2.28	1.53	2.12	1.11	0.59	0.5	0.88	1.0	0.49	1.42	3.05	3.9.	6.9.	
Ho	0.85	0.7	0.8	0.39	0.36	0.24	0.36	0.24	0.35	0.12	0.1	0.17	0.27	0.59	0.9	1.23			
Er	1.76	1.3	1.41	1.12	1.5	1.5	1.5	0.71	1.05	0.9	0.38	0.29	0.47	0.53	0.25	0.82	2.0.	4.13	
Tm	0.21	0.16	0.19	0.16	0.13	0.14	0.07	0.15	0.13	0.07	0.05	0.07	0.07	0.03	0.12	0.13	0.47	0.69	
Yb	1.23	1	1.13	0.78	0.77	0.78	0.5	0.82	0.67	0.37	0.31	0.42	0.41	0.16	0.8.	2.0.	3.42	4.52	
Lu	0.18	0.15	0.15	0.11	0.11	0.11	0.11	0.11	0.11	0.08	0.05	0.08	0.05	0.03	0.14	0.3.	0.45	0.75	
Eu/Eu*	0.9	1.13	1.0	1.1	1.23	1.18	1.23	1.19	1.12	1.07	1.07	1.19	1.05	1.07	1.0	0.12	0.22		
(La/Yb)N	22/16	27/9.8	46/7.8	59/9.4	54/2	56/1.8	52/7.7	54/10	51/4.8	1.9	37/1.4	37/5	47/8	45.9	25/0.3	0.66	0.10	0.79	
Mg#	62/66	75/45	59/2	57/1	54/5	52/5	51/8	50/0	56/0.5	44/9	35/1	50/8	49/7	48/0	24/0	2/91	11/67	9/27	
Nb/Ta	25/7.	25/0.	46/8.3	25/0.7	4.0..	4.0..	15/11	36/..	38/8.2	4.0.	9.36	9.18	8.27	7.88	15.33	11/86	28/81	13/27	
Th/Ta	0.97	1.0	0.81	0.7	0.89	0.72	0.67	0.73	0.74	0.5	0.5	0.6	0.5	0.55	1.0	0.83	0.93	3/51	2/7.
Rb/Sr	0.02	0.04	0.1	0.05	0.04	0.04	0.03	0.03	0.03	0.04	0.2	0.05	0.08	0.05	0.01	0.08	0.05	0.05	

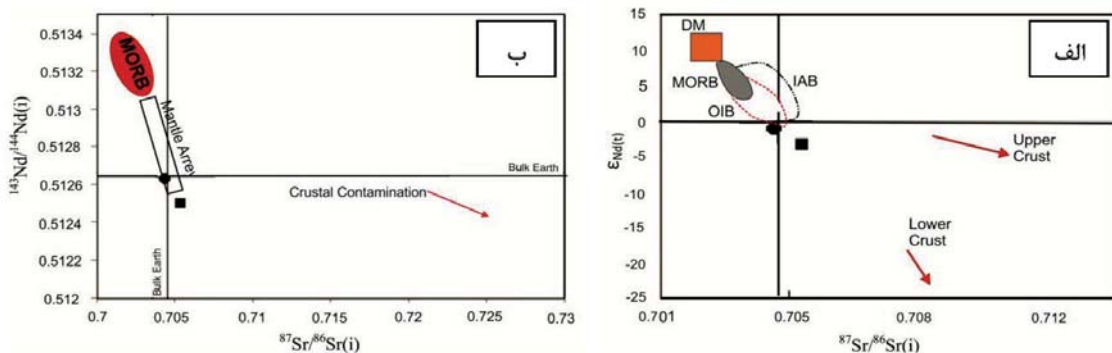


شکل ۹. (الف) نمودار (MgO+FeO)/CaO)/(MgO+FeO) در برابر درصد وزنی (La/Yb)N (Verma et al., 2012) جهت تعیین محیط تکتونیکی، (ب) نمودار مقادیر مولار (MgO+FeO)/(MgO+FeO)/CaO در برابر درصد وزنی (Altherr and Siebel, 2002) (MgO+FeO)/(Al₂O₃+FeO)/(MgO+FeO) در برابر درصد وزنی Rb/Ba در برابر Rb/Sr (Sylvester, 1998) (Siebel, 2002) جهت تعیین سنگ منشا

مقادیر فوق نشان دهنده اشتقاء گرانیت‌وئیدهای مورد مطالعه از مگماهی با منشا گوشته و پوسته قاره‌ای است جایی که مذاب‌های گوشته‌ای بالایی، با مقادیر کمتر منفی یا مثبت ϵ_{Nd} با مذاب‌های مشتق شده از پوسته با مقادیر منفی ϵ_{Nd} اختلاط یا آلایش یافته‌اند. میزان نسبت $^{87}\text{Sr}/^{86}\text{Sr}$ اولیه در گرانیت‌های نوع I مابین ۰/۷۰۶ تا ۰/۷۰۸ متغیر است، در حالی که در گرانیت‌های تیپ S این مقدار بیشتر از ۰/۷۰۸ می‌باشد (Chappell and White, 1974)، که تایید‌کننده تیپ I بودن گرانیت‌وئیدهای توده‌های پیچاقچی، ترکه‌دره و خانقلی است (شکل ۱۰-الف و ب).

نسبت‌های ایزوتوپی Nd و Sr

داده‌های اولیه استرانسیم و نئودیمیم نمونه‌ها براساس سن گزارش شده برای گرانیت‌وئیدهای مورد مطالعه موردن تصحیح سنجی قرار گرفت (جدول ۵). به طور کلی میزان نسبت $^{87}\text{Sr}/^{86}\text{Sr}$ و $^{143}\text{Nd}/^{144}\text{Nd}$ اولیه برای نمونه مونزودیوریتی توده ترکه‌دره برابر با ۰/۷۰۴۴۸ و ۰/۵۱۲۶۳۲ به علاوه مقدار ϵ_{Nd} به میزان -۰/۱۲ است (شکل ۱۰-الف و ب). میزان نسبت اولیه $^{87}\text{Sr}/^{86}\text{Sr}$ و $^{143}\text{Nd}/^{144}\text{Nd}$ اولیه برای نمونه گرانودیوریتی توده پیچاقچی برابر با ۰/۷۰۵۲۹ و ۰/۵۱۲۴۹۳ همچنین مقدار ϵ_{Nd} برابر -۰/۸۲ است (شکل ۱۰-الف و ب).



شکل ۱۰. الف) موقعیت قرارگیری نمونه‌های مونزودیوریتی و گرانودیوریتی در مقابله $^{143}\text{Nd}/^{144}\text{Nd}$ در مقابل $^{87}\text{Sr}/^{86}\text{Sr}$ ، ب) موقعیت قرارگیری نمونه‌های مونزودیوریتی و گرانودیوریتی در مقابله $^{143}\text{Nd}/^{144}\text{Nd}$ در مقابل $^{87}\text{Sr}/^{86}\text{Sr}$ (Fourcade, 1998)

جدول ۵. نسبت‌های ایزوتوپی استرانسیم و نئودیمیم برای نمونه‌های گرانیت‌وئیدی مورد مطالعه

Rock Type	Monzodiorite	Granodiorite
Sample No.	IR-T-A13	IR-T-C2
Age(Ma)	۵۹±۷/۲	۷۴/۲
Method	(U-Pb)	(K-Ar)
Reference	Jamshidi Badr et al., 2013	Kholghi Khasraghi and Vossoughi Abedini, 2008
Rb(ppm)	۴۲/۷	۵۰/۲
Sr(ppm)	۱۰۸۴/۶	۱۵۰۴/۳
Error ($\pm 2\sigma$)	۰/۰۰۰۱۵	۰/۰۰۰۱۴
$^{87}\text{Sr}/^{86}\text{Sr}$	۰/۷۰۴۴۷۸	۰/۷۰۵۲۹۲
$^{87}\text{Sr}/^{86}\text{Sr(i)}$	۰/۷۰۴۴۸	۰/۷۰۵۲۹
$^{87}\text{Rb}/^{86}\text{Sr}$	۰/۱۱۴	۰/۰۹۷
Nd(ppm)	۳۷/۹	۱۷
Sm(ppm)	۵/۴۶	۲/۶۳
Error ($\pm 2\sigma$)	۰/۰۰۰۱۱	۰/۰۰۰۱۴
$^{143}\text{Nd}/^{144}\text{Nd}$	۰/۵۱۲۶۳۲	۰/۵۱۲۴۹۴
$^{143}\text{Nd}/^{144}\text{Nd(i)}$	۰/۵۱۲۶۳۲	۰/۵۱۲۴۹۴
ϵ_{Nd}	-۰/۱۲	-۲/۸۲
$(^{143}\text{Nd}/^{144}\text{Nd}) \text{ CHUR}$	۰/۵۱۲۶۳۷۹۲۸	۰/۵۱۲۶۳۷۹۰۵
$(^{147}\text{Sm}/^{144}\text{Nd}) \text{ CHUR}$	۰/۱۹۶۷	۰/۱۹۶۷
$^{146}\text{Nd}/^{144}\text{Nd}$	۰/۷۲۲۲۸۷۵۸۷	۰/۷۲۲۲۸۷۵۸۷
$^{147}\text{Sm}/^{144}\text{Nd}$	۰/۰۸۷۰۶۹	۰/۰۹۳۴۹۸
TDM (Ga)	۰/۸۲	۰/۸۳

تغییرات سیلیس در محدوده (۴/۷۳-۲/۶۶)، مقادیر متوسط عدد منیزیم \neq Mg (۴۶-۳۵)، مقادیر پایین Ni (۱/۹-۱۵/۱) و میانگین نسبت Nb/Ta (۳/۱۳) (جدول ۴)، میزان عدد منیزیم \neq Mg هورنبلند در محدوده ۰/۵۸-۰/۶۷ (جدول ۲) و شواهد کانی‌شناسی چون بافت‌های زونینگ نوسانی در پلازیوکلاز و آنتی راپاکیوی (شکل ۶) وجود انکلاو میکروگرانولار مافیک با ترکیب کوارتزدیوریت نشان‌دهنده اختلاط ماقمای حاصل از ذوب پوسته پایینی با ماقمای مشتق شده از گوشته است.

واحد تونالیت-ترنجمیت-گرانودیوریت‌ها (TTGs)

در ارتباط با مکانیسم تشکیل و پتروژنیز تونالیت-ترنجمیت-گرانودیوریت‌ها (TTGs) دو نظریه کلی وجود دارد. ۱. ذوب بخشی پوسته اقیانوسی فرورانده شده در یک حاشیه همگرا با مقادیر بالای عدد منیزیم Mg \neq , Cr (Martin, 1986, 1999; Drummond and Ni و Defand, 1990; Foley et al., 2002; Kamber et al., 2002; Smithies et al., 2003 تبادل مابین مذاب مشتق شده از صفحه فرورانده با گوه گوشته‌ای در طول صعود (Rapp et al., 1999). ۲. ذوب بخشی پوسته مافیک ضخیم شده و یا بازالت‌های زیر صفحه‌ای با مقادیر پایین عدد منیزیم Cr \neq , Ni و Mg (Atherton and Petford, 1993; Petford and Atherton, 1996; Condie, 2005; Smithies et al., 2009). براساس نظر (de Almada et al., 2011) می‌توان گرانیت‌های (TTG) را به سه گروه تقسیم نمود: گروه اول دارای نسبت‌های Y/Sr, La/Yb, Sr/Ta و La/Yb با La/Yb ($>1/5$ GPa) با حضور آمفیبول و گارنت در شرایط فشار بالا (شکل ۶) نیز تایید کننده این موضوع است. اما در ناحیه منشا، ایجاد شده‌اند. گروه دوم با نسبت‌های La/Nb, Sr/Yb و La/Ta متوسط، از ماقمایی در شرایط فشار متوجه (۱-۱/۵ GPa) اما همچنان از منشایی در محدوده پایداری گارنت مشتق شده‌اند. گروه سوم با نسبت‌های La/Yb, Sr/Yb و La/Ta پایین، از ماقمایی در شرایط فشار پایین (قریباً ۱ GPa) از یک منشا آمفیبولیتی با حضور

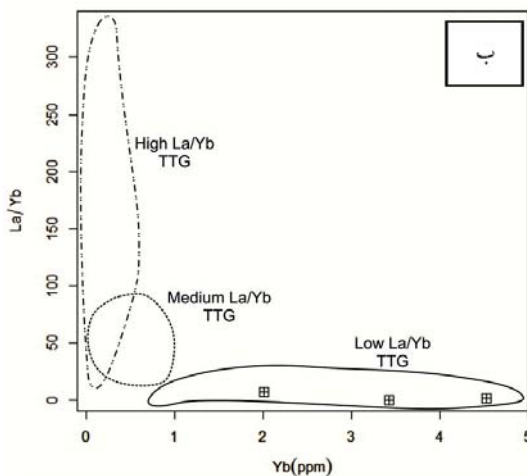
خصوصیات منشا و ژنز توده‌های گرانیت‌وئیدی مورد مطالعه

واحد مونزو-دیوریت ترکه دره و خانقلی
در واحد مونزو-دیوریت میزان نسبت $^{87}\text{Sr}/^{86}\text{Sr}$ و ϵNd اولیه به ترتیب برابر با ۰/۴۴۸-۰/۷۰۴ و -۰/۱۲-۰/۱۲ می‌باشد، این واحد از نوع I هست و رنج درصد وزنی سیلیس برابر ۵۶/۵ (۵۸/۱-۶۲/۲)، مقادیر بالای عدد منیزیم Mg \neq (۵۰/۹-۵۰/۱) و Ni (۴۷/۳-۴۷/۳) (جدول ۴) است. میانگین نسبت Nb/Ta ماقمایی مشتق شده از گوشته ۱۷/۵ و برای نمونه‌های پوسته‌ای این نسبت ۱۱-۱۲ در تغییر است (Green, 1995)، که برای نمونه‌های مونزو-دیوریتی ترکه دره و خانقلی میانگین این نسبت برابر با ۱۷/۵ است (جدول ۴). میزان عدد منیزیم Mg \neq در هورنبلند نیز فاکتور مناسبی برای شناسایی خواستگاه ماقماست (Xie and Zhang, 1990; Huaimin et al., 2006) (Xie and Zhang, 1990; Huaimin et al., 2006). محتوای عدد منیزیم بیشتر از ۷٪ معرف خاستگاه گوشته‌ای و مقادیر کمتر از ۵٪ بر خاستگاه پوسته‌ای ماقمایی دلالت دارند و مقادیر بین این دو، نشان‌دهنده گوشته‌ای و پوسته‌ای در تشکیل ماقم است (Xie and Zhang, 1990; Huaimin et al., 2006). گستره عدد منیزیم آمفیبول‌های ماقمایی در واحد مونزو-دیوریت در محدوده ۶۶-۹۰/۰٪ است تمامی این شواهد نشان‌دهنده آن است که توده‌های گرانیت‌وئیدی خانقلی و ترکه دره از ماقمایی گوشته‌ای که در طی صعود تحت تاثیر فرایند آلایش پوسته‌ای قرار گرفته، مشتق شده است. بعلاوه شواهد کانی‌شناسی چون بافت زونینگ نوسانی در پلازیوکلاز (شکل ۶) نیز تایید کننده این موضوع است. اما وجود کانی‌شناسی و الگوهای چند عنصری و عناصر نادر خاکی REE کاملاً مشابه انکلاو و میزان مونزو-دیوریتی، بیان کننده آن است که انکلاوهای مشاهده شده در این توده از نوع حاشیه انجامد سریع هستند.

واحد گرانودیوریت پیچاقچی

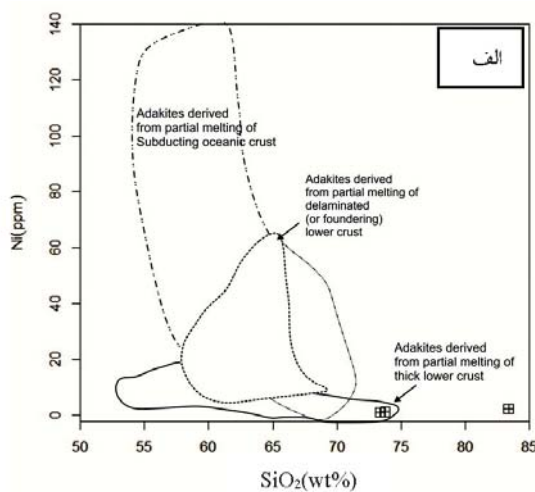
در واحد گرانودیوریت میزان نسبت $^{87}\text{Sr}/^{86}\text{Sr}$ و ϵNd اولیه به ترتیب برابر با ۰/۷۰۵۲۹-۰/۸۲ و -۲/۵ (جدول ۵)، از نوع I، دامنه

در برابر Yb (de Almeida et al., 2011) (شکل ۱۱-ب)،
الگوهای عناصر نادر خاکی (REE) کمتر تفرق یافته و در
مقابل مقادیر HREE بالا و آنومالی منفی Eu (شکل ۵-۸)،
نمونه‌های (TTG) مورد مطالعه در دسته سوم با مقادیر La/
Yb پایین که از ذوب پوسته مافیک ضخیم شده یا بازالت‌های
زیر صفحه‌ای در عمق و فشار پایین با حضور پلازیوکلاز در
ناحیه منشا ایجاد شده‌اند، قرار می‌گیرند. حوادث گرمایی،
برای مثال شکستن ورقه فرورانده (Breck off) و بالا آمدگی
گوشه استنسفری یا کپلوم گوشه‌ای سبب ایجاد ماقمایی
خواهد شد که گرمای لازم را برای ذوب پوسته آمفیبوليتي
آرکئن و ایجاد ماقمای ترنجمیتی فراهم نموده است.



پلازیوکلاز در ناحیه منشا، مشتق شده‌اند. گروه اول و دوم
گرانیت‌های (TTG) دارای الگوهای REE تفرق یافته، با
مقادیر Sr و Eu بالا هستند که نشان‌دهنده ذوب در حضور
آمفیبول و گارنت (HREE و Y بالا) است یا اینکه تکامل
ماگما توسعه تفرق گارنت و آمفیبول کنترل می‌شود. اما
در مقابل دسته سوم گرانیت‌های (TTG)، دارای الگوهای
REE کمتر تفرق یافته با مقادیر HREE و Y بالا و مقادیر
Sr، Eu پایین هستند.

با توجه به مقادیر پایین عدد منیزیم ($Mg \neq 11/6$)
Cr (۲۰-۴۶) و Ni (۱-۲/۴) (جدول ۱)، نمودارهای Ni در
La/Yb (Wang et al., 2006) (شکل ۱۱-الف) و



شکل ۱۱. الف) نمودار Ni در برابر SiO_2 (Wang et al., 2006) جهت تعیین منشا نمونه‌های تونالیت-ترنجمیت، ب) نمودار La/Yb در برابر (TTG) (جهت تقسیم‌بندی تونالیت-ترنجمیت-گرانودیبوریت‌ها (de Almeida et al., 2011)

با توجه به نمودارهای رئوشیمیایی، واحد مونزو-دیبوریت
(توده‌های خانقلی و ترکه‌دره) از نوع I با ماهیت متاآلومین
و کالک‌آلکالن است که در محدوده کمان ماقمایی (VAG)
واقع در حاشیه فعال قاره از ماقمایی گوشه‌ای که در
طی صعود تحت تاثیر فرآیند آلائیش پوسته‌ای قرار گرفته،
ایجاد شده است. واحد گرانودیبوریت (توده‌های پیچاچی)،
شمال شرق خانقلی و حمزه قاسم، از نوع I با ماهیت
متاآلومین تا پرآلومین و کالک‌آلکالن است که در محدوده
کمان ماقمایی (VAG) در حاشیه فعال قاره به‌واسطه
فرآیند اختلاط ماقمایی مذاب حاصل از ذوب پوسته پایینی
با مذاب مشتق شده از گوشه است. تشکیل توده‌های

نتیجه‌گیری

کمپلکس سورسات واقع در شمال غرب زون ساختاری
سنندج-سیرجان متشکل از واحدهای نفوذی با ترکیب
هورنبلند گابرو، کوارتزدیبوریت، مونزو-دیبوریت (با سن
۷/۲ ۵۹± میلیون سال)، گرانودیبوریت (با سن ۷۴/۲۰ میلیون
سال) و تونالیت-ترنجمیت (لوکوگرانیت هم تیپ دوران)
است. تجزیه مایکروپروب کانی‌های آمفیبول (در گرانودیبوریت
و مونزو-دیبوریت)، پلازیوکلاز و آلکالی فلدوسپار (در
مونزو-دیبوریت، گرانودیبوریت و تونالیت) نشان می‌دهد که
آمفیبول‌ها از نوع مگنزیو-هورنبلند، پلازیوکلازها از نوع آلبیت
و اولیگوکلاز و آلکالی فلدوسپارها از نوع ارتوکلاز هستند.

- hornblende barometer. *American Mineralogist*, 80, 549-559.
- Atherton, M. P. and Petford, N., 1993. Generation of sodiumrich magmas from newly underplated basaltic crust. *Nature*, 362, 6416, 144-146.
 - Bottinga, Y., Kudo A. and Weil, D., 1966. Some observation of oscillatory zoning and crystallization of magmatic plagioclase. *American Mineralogist*, 51, 292-806.
 - Boyenton, W. V., 1984. Geochemistry of the rare earth elements: meteorite studies. In: Henderson P. (ed.), *Rare earth element geochemistry*. Elsevier, 63-114.
 - Chappell, B. J. and White, A. J. R., 1974. Two contrasting granite types. *Journal of Pacific Geology*, 8, 173-174.
 - Coltorti, M., Bonadiman, C., Faccini, B., Grégoire, M., O'Reilly, S.Y. and Powell, W., 2007. Amphiboles from suprasubduction and intraplate lithospheric mantle. *Lithos*, 99, 68-84.
 - Condie, K. C., 2005. TTGs and adakites: are they both slab melts?. *Lithos*, 80(1-4), 33-44.
 - Deer W.A., Howie R.A. and Zussman J., 1991. *An Introduction to the Rock-Forming Minerals*. Longman, London, 528.
 - Drummond, M. S. and Defant, M. J., 1990. A model for Trondhjemite-Tonalite-Dacite genesis and crustal growth via slab melting: Archean to modern comparisons. *Journal of Geophysical Research: Solid Earth*, 95(B13), 21503-21521.
 - de Almeida, J. d .A. C., Agnola, R. D., de Oliveira, M. A., Macambira, M. J. B., Pimentel, M. M., Rämö, O. T., Guimarães, F. V. and da Silva Leite, A. A., 2011. Zircon geochronology, geochemistry and origin of the TTG suites of the Rio Maria granite-greenstone terrane: Implica-

مونزون‌دیوریتی و گرانو‌دیوریتی در ارتباط با فروزانش ورقه اقیانوسی نئوتیس به زیر ورقه قاره‌ای ایران مرکزی است. دسته توپالیت-ترنجمیت‌ها از نوع I با ماهیت کالک آکالن و پرآلومین و حاصل ذوب پوسته آمفیبولیتی هستند که خود از ذوب پوسته مافیک ضخیم شده یا بازالت‌های زیر صفحه‌ای در اعماق و فشار پایین با حضور پلاژیوکلاز در ناحیه منشا تشکیل شده‌اند. در نتیجه فروزانش و بسته شدن شاخه‌ای از پروتوتیس در پرکامبرین گندوانا، بخش‌هایی از ایران مرکزی و البرز-آذربایجان به صفحه عربی پیوستند، بنابراین واحد توپالیت-ترنجمیت در یک حاشیه فعال قاره‌ای ناشی از همگرایی ایران مرکزی و البرز-آذربایجان با صفحه عربی در اوخر پرکامبرین تشکیل شده است.

منابع

- خلقی خسرقی، م. ح., ۱۹۹۴. نقشه زمین‌شناسی ۱/۱۰۰۰۰۰ شاهین‌دژ، سازمان زمین‌شناسی و اکتشافاتمعدنی کشور.
- خلقی، م. ح و وثوقی عابدینی، م., ۱۳۸۲. منشا، پتروژن و سن‌سنگی رادیومتری با تولیت پیچاقچی (شمال باختر ایران)، *مجله علوم زمین*, ۱۱، ۷۸-۸۹.
- مجرد، م، مودن، م و موید، م., ۱۳۸۶. تعیین ژنز و نرخ ذوب بخشی گابروهای آکالن منطقه شرق شاهین‌دژ. پانزدهمین همایش انجمن بلورشناسی و کانی‌شناسی ایران، دانشگاه فردوسی مشهد.
- Agemar, T., Worner, G. and Heumann, A., 1999. Stable isotopes and amphibole chemistry on hydrothermally altered granitoids in the North Chilean Precordillera: a limited role for meteoric water? Contribution to Mineralogy and Petrology, 136, 331-344.
- Altherr, R. and Siebel, W., 2002. I-type plutonism in a continental back-arc setting: Miocene granitoids and monzonites from the central Aegean Sea, Greece. Contributions to Mineralogy and Petrology, 143, 397-415.
- Anderson, J.L. and Smith, D.R., 1995. The effects of temperature and fO₂ on the Al-in-

- tions for the growth of the Archean crust of the Carajás province, Brazil. *Precambrian Research*, 187, 201-221.
- Foley, S. F. and Wheller, G. E., 1990. Parallels in the origin of geochemical signatures of island arc volcanic and continental potassic igneous rocks: the role of residual titanites. *Chemical Geology*, 85, 1-18.
 - Fourcade, S., 1998. Les isotopes: effect isotopiques, base de radio-geochemie. In: Hagemann G. and Treuil M. (eds) *Introduction a la geochemies et ses applications*. Paris: CEA, 195-265.
 - Foley, S., Tiepolo, M. and Vannucci, R., 2002. Growth of early continental crust controlled by melting of amphibolite in subduction zones. *Nature*, 417, 837-840.
 - Green, T. H., 1995. Significance of Nb/Ta as an indicator of geochemical processes in the crust-mantle system. *Chemical Geology*, 120, 3-4, 347-359.
 - Hassanzadeh, J. and Wernicke, B., 2016. The Neotethyan Sanandaj-Sirjan zone of Iran as an archetype for passive margin-arc transitions. *Tectonics*, 35, 3, 586-621.
 - Hasse, C. S., Chadam, J., Feinn D. and Otoleva, P., 1980. Oscillatory zoning in plagioclase feldspar. *Science*, 299, 272-274.
 - Huaimin, X., Shuwen, D. and Ping, J., 2006. Mineral chemistry, geochemistry and U-Pb SHRIMP zircon data of the Yangxin monzonitic intrusive in the foreland of the Dabie orogen Science in China: Series D. *Earth Sciences*, 49, 684-695.
 - Henderson, P., 1984. *Rare Earth Element Geochemistry*. Elsevier, Oxford, New York.
 - Irvine, T. N. and Baragar, W. R. A., 1971. A guide to the chemical classification of the common volcanic rocks. *Canadian Journal of Earth Science*, 8, 523-548.
 - Jamshidi Badr, M., Collins, A.S. and Masoudi, F., 2013. Th U-Pb age, geochemistry and tectonic significance of granitoids in the Sourasat Complex, Northwest Iran. *Turkish Journal of Earth Sciences*, 22, 1-31.
 - Jiang, C. Y. and An, S. Y., 1984. On chemical characteristics of calcic amphiboles from igneous rocks and their petrogenesis significance. *Journal of Mineralogy and Petrology*, 3, 1-9.
 - Joron, J. L. and Treuil, M., 1977. Utilisation des proprietes des elements fortement hygromagmatophiles pour l'etude de la composition chimique et de heterogeneite du manteaux. *Bulletin de La Societe' Geologique France*, 20, 1197-1205.
 - Kamber, B. S., Ewart, A., Collerson, K. D., Bruce, M. C. and McDonald, G. D., 2002. Fluid-mobile trace element constraints on the role of slab melting and implications for Archean crustal growth models. *Contributions to Mineralogy and Petrology*, 144, 1, 38-56.
 - Leake, B. E., Woolly, A. R., Arps, C. E. S., Birch, W. D., Gilbert, M. C., Grice, J. D., Hawthorne, F. C., Kato, A., Kisch, H.J., Krivovichev, V.G., Linthout, K., Laird, J., Mandarino, J., Maresch, W.V., Nickel, E.h., Rock, N.M.S., Schmucher, J.C., Smith, D. C., Stephenson, N. C. N., Unungaretti, L., Whittaker, E. J. W. and Youzhi, G., 1997. Nomenclature of Amphiboles. Report of the Subcommittee on Amphiboles of the International Mineralogical Association Commission on New Minerals Names. *European Journal of Mineralogy*, 9, 623-651.
 - Martin, H., 1986. Effect of steeper Archean geothermal gradient on geochemistry of subduction-zone magmas. *Geology*, 14, 9, 753-756.

- Martin, H., 1999, Adakitic magmas: modern analogues of Archaean granitoids. *Lithos*, 46,3, 411-429.
- Middlemost, E.A.K., 1994, Naming materials in the magma/igneous rock system. *Earth Sciences Reviews*, 37, 215-224.
- Míková, J. and Denková, P., 2007. Modified chromatographic separation scheme for Sr and Nd isotope analysis in geological silicate samples. *Journal of Geosciences*, 52, 221-226.
- More, D. E. and Liou, J. G., 1979. Chessboard-twinned albite from Franciscan metaconglomerate of the Diablo Range, California American Mineralogist, 64, 77-101.
- Nelson S.T. and Montana A., 1992. Sieve-texture plagioclase in volcanic rocks production by rapid decompression. *American Mineralogist*, 77, 1242-1279.
- Nutman, A. P., Mohajjal, M., Bennett, V. C. and Fergusson, C. L., 2013, Gondwanan Eoarchean–Neoproterozoic ancient crustal material in Iran and Turkey: zircon U-Pb-Hf isotopic evidence. *Canadian Journal of Earth Sciences*, 51, 272-285.
- Petford, N. and Atherton, M., 1996. Na-rich partial melts from newly underplated basaltic crust: the Cordillera Blanca Batholith, Peru. *Journal of Petrology*, 37,6, 1491-1521.
- Rapp, R. P., Shimizu, N., Norman, M. D. and Applegate, G. S., 1999. Reaction between slab-derived melts and peridotite in the mantle wedge: experimental constraints at 3.8 GPa. *Chemical Geology*, 160,4, 335-356.
- Shahabpour, J., 1994. Post-mineralization breccia dike from the Sar Cheshmeh porphyry copper porphyry system, Kerman, Iran. *Exploration and Mining Geology*, 3, 39-343.
- Shand, S. J., 1943. *Eruptive Rocks*, T. Murby, London, 488.
- Smithies, R. H., Champion, D. C. and Cassidy, K. F., 2003. Formation of Earth's early Archaean continental crust. *Precambrian Research*, 127,1-3, 89-101.
- Smithies, R. H., Champion, D. C. and Van Kranendonk, M. J., 2009. Formation of Paleoproterozoic continental crust through infracrustal melting of enriched basalt. *Earth and Planetary Science Letters*, 281,3-4, 298-306.
- Sylvester, P. J., 1998. Post-collisional strongly peraluminous granites. *Lithos*, 45,1-4, 29-44.
- Tepper, J. H., Nelson, B. K., Bergantz, G. W. and Irving, A. J., 1993. Petrology of the Chilliwack batholith, north Cascades, Washington: generation of calcalkaline granitoids by melting of mafic lower crust with variable water fugacity. *Contributions to Mineralogy and Petrology*, 113, 333-351.
- Thompson A.B., 1982. Magmatism of the British Tertiary Volcanic Province. *Scottish Journal of Geology*, 18, 50-107.
- Verma, S. K., Pandarinath, K. and Verma, S. P., 2012. Statistical evaluation of tectonomagmatic discrimination diagrams for granitic rocks and proposal of new discriminant-function-based multi-dimensional diagrams for acid rocks. *International Geology Review*, 54,3, 325-347.
- Wang, Q., Xu, J. F., Jian, P., Bao, Z. W., Zhao, Z. H., Li, C. F., Xiong, X. L. and Ma, J. L., 2006. Petrogenesis of adakitic porphyries in an extensional tectonic setting, Dexing, South China: implications for the genesis of porphyry copper mineralization. *Journal of Petrology*, 47,1, 119-144.
- White, A.J. R. and Chappell, B. W., 1983. Granitoid type and their distribution in the Lachlan

- Fold Belt. Southeastern Australia. Geological Society of American. Memorial, 159, 21-34.
- Whitney, D. and Evans, W.D., 2010. Abbreviations for names of rock-forming minerals. *American Mineralogist*, 95, 185-187.
- Xie, Y.W. and Zhang, Y.Q., 1990. Peculiarities and genetic significance of hornblende from granite in the Hengduanshan region. *Acta Metallurgica Sinica*, 10, 35-45.